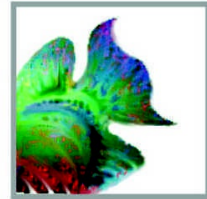


**AKOESTISCH ONDERZOEK**



**WEGVERKEERSLAWAAI**



Nieuwbouw woningen  
Valkenswaardseweg 5, Leende



Rapportnummer : 220-LVa5-w1-v2

Datum : 11 juni 2021

**Project : Nieuwbouw woningen  
Valkenswaardseweg 5 in Leende**

**Opdrachtgever : Dhr. en mevr. Sprankenis**

**Datum rapport : 11 juni 2021**

Projectleider  
Collegiale toets

: Ir. dhr. W.A. van Aerle  
: Ing. mw. A. van der Vleuten

Voor akkoord:  
A. van der Vleuten



Voor akkoord:  
W.A. van Aerle



**Inhoudsopgave**

| <u>Hfdst.</u> | <u>Titel</u>                   | <u>Blz.</u> |
|---------------|--------------------------------|-------------|
| 1.            | Inleiding                      | 1           |
| 2.            | Normstelling wegverkeerslawaaï | 2           |
| 3.            | Uitgangspunten wegverkeer      | 4           |
| 4.            | Resultaten wegverkeerslawaaï   | 5           |
| 5.            | Conclusies                     | 6           |

**Bijlagen**

|           |  |
|-----------|--|
| Bijlage 1 | : Situatietekening en luchtfoto                                  |
| Bijlage 2 | : Invoergegevens wegverkeerslawaaï                               |
| Bijlage 3 | : Geluidbelastingen wegverkeerslawaaï per weg (exclusief aftrek) |
| Bijlage 4 | : Verkeersgegevens   |

## **1. Inleiding**

Er is aan M & A Omgeving bv opdracht verleend voor het uitvoeren van een akoestisch onderzoek in het kader van de nieuwbouw van drie geschakelde woningen aan de Valkenswaardseweg 5 in Leende. In verband hiermee, dient te worden getoetst aan de eisen volgens de Wet geluidhinder. Uitgangspunt is dat wordt uitgegaan van een goed woon- en leefklimaat bij de woningen.

De woningen zijn geprojecteerd in het invloedsgebied van de Valkenswaardseweg. De overige wegen liggen op een dusdanige afstand van de nieuwe woningen of hebben een dermate lage verkeersintensiteit, zodat deze niet meegenomen hoeven te worden.

In deze rapportage zullen de geluidsbelastingen (wegverkeer) op de maatgevende gevels van de woningen worden bepaald. Deze resultaten worden vervolgens getoetst aan de Wet geluidhinder.

De situatie is weergegeven in bijlage 1.

## **2. Normstelling wegverkeerslawaai**

In de Wet geluidhinder (1-1-2013) zijn voor wegverkeerslawaai zones opgenomen, waarbinnen regels zijn gesteld omtrent bescherming van geluidgevoelige objecten.

Voor de normstelling binnen deze zones wordt voor verkeerslawaai onderscheid gemaakt tussen de ligging in binnenstedelijk gebied en buitenstedelijk gebied. Binnenstedelijk gebied is het gebied binnen de bebouwde kom, met uitzondering van het gebied gelegen binnen de zone van een autoweg of autosnelweg. Het buitenstedelijk gebied is het gebied buiten de bebouwde kom en het gebied binnen de zone van een autoweg en autosnelweg.

De breedten van de geluidzones voor de verschillende wegen is weergegeven in onderstaande tabel 2.1.

**Tabel 2.1 : Breedten van geluidzones**

| Type gebied     | Aantal rijstroken | Breedte geluidzone [meter] |
|-----------------|-------------------|----------------------------|
| Stedelijk       | 1 of 2            | 200                        |
|                 | 3 of meer         | 350                        |
| Buitenstedelijk | 1 of 2            | 250                        |
|                 | 3 of 4            | 400                        |
|                 | 5 of meer         | 600                        |

**Tabel 2.2 : Geluidsgrenswaarden voor nieuwbouw van binnenstedelijke situaties langs bestaande wegen (art. 83 Wgh)**

|                       | Woningen |
|-----------------------|----------|
| Maximale gevelwaarde  | 63 dB    |
| Maximale binnenwaarde | 33 dB    |

**Tabel 2.3 : Geluidsgrenswaarden voor nieuwbouw van buitenstedelijke situaties langs bestaande wegen (art. 83 Wgh)**

|                       | Woningen |
|-----------------------|----------|
| Maximale gevelwaarde  | 53 dB    |
| Maximale binnenwaarde | 33 dB    |

Alvorens te toetsen aan de grenswaarden volgens de Wet geluidhinder dient een correctie volgens voorschrift 3.4 van het Reken- en Meetvoorschrift Geluidhinder (2012) te worden toegepast. Indien in alle redelijkheid kan worden beredeneerd dat op de betreffende weg nog maatregelen mogelijk zijn die een beduidend lager geluidsniveau in de toekomst tot gevolg zullen hebben dan mag voor wegen met een rijksnelheid tot 70 km/h een correctie worden toegepast van maximaal 5 dB.

Voor onderhavige situatie geldt dat de wegen als bestaande en de woningen als nieuwe situatie gezien dient te worden. De relevante wegen bij het plan hebben een geluidzone van 200 meter. De aftrek conform artikel 3.4 van het Reken- en meetvoorschrift geluidhinder 2012 bedraagt 5 dB.

### **3. Uitgangspunten wegverkeer**

De gemeente Heeze-Leende heeft de verkeersgegevens van de Valkenswaardseweg toegestuurd (mail d.d. 7 september 2020, dhr. J. Mol). Deze verkeersgegevens zijn afkomstig uit de RVMK, planjaar 2030. De verkeersgegevens van de gemeente zijn opgenomen in bijlage 4.

De etmaalintensiteiten voor het prognosejaar 2031, rijsnelheid en het wegdektype staan in tabel 3.1.

**Tabel 3.1 : Verkeersgegevens Valkenswaardseweg voor planjaar 2031**

| <b>Weg</b>        | <b>Etmaalintensiteit</b> | <b>Wegdektype</b>                      | <b>Rijsnelheid</b> |
|-------------------|--------------------------|--|--------------------|
| Valkenswaardseweg | 10.390                   | elementenverharding<br>in keperverband | 50                 |

Voor onderhavige locatie is geen optrektoeslag, drempels en rotondes van toepassing.

Aan de hand van deze verkeersgegevens zijn de geluidsbelastingen bepaald op de gevels van de woningen.

De volledige invoergegevens (o.a. verdeling over de etmaalperioden en voertuigcategorieën) voor het akoestisch model zijn opgenomen in bijlage 2.

#### **4. Resultaten wegverkeerslawaai**

Aan de hand van de verkeersgegevens, zoals in voorgaand hoofdstuk gegeven, zijn de geluidsbelastingen bepaald. Toetsing aan de grenswaarden geschiedt per weg. De berekeningen zijn uitgevoerd op waarneemhoogten van 1.5, 5.0 en 7.5 m, overeenkomend met de leefhoogten op respectievelijk de genae grond en 1<sup>e</sup> en 2<sup>e</sup> verdieping.

De berekeningen zijn uitgevoerd volgens standaard rekenmethode 2 (2012) en hiervoor is gebruik gemaakt van software van DGMR (Geomilieu V2020.2). De voor de berekeningen van belang zijnde bodemfactor die is gebruikt bij de berekeningen bedraagt 0.7, buiten de verhardingen (factor 0) of zachte bodems (factor 1,0). De resultaten staan per weg vermeld in tabel 4.1.

**Tabel 4.1 : Geluidbelastingen  $L_{den}$ , in-/exclusief aftrek conform artikel 3.4 RMG 2012**

| Rekenpunt                     | $L_{den}$ [dB] 2031 |             |
|-------------------------------|---------------------|-------------|
|                               | Valkenswaardseweg   | Gecumuleerd |
| W1. Voorgevel woningen        | 65                  | 70          |
| W2. Linker zijgevel woningen  | 61                  | 66          |
| W3. Rechter zijgevel woningen | 62                  | 66          |
| W4. Achtergevel woningen      | 43                  | 48          |

**Opmerkingen tabel 4.1:**

1. Voor de ligging van de locatiepunten wordt verwezen naar bijlage 2.
2. De geluidsbelastingen voor de afzonderlijke wegen zijn inclusief correctie conform artikel 3.4 RMG 2012. De gecumuleerde waarden zijn exclusief correctie conform artikel 3.4 RMG 2012.
3. De vermelde geluidsniveaus zijn de hoogst berekende waarde van de verschillende bouwlagen. Voor de volledige berekeningsresultaten wordt verwezen naar bijlage 3.

Geconcludeerd kan worden dat ten gevolge van de omliggende wegen de voorkeursgrenswaarde van 48 dB op de voor- en zijgevels wordt overschreden. De geluidbelastingen voor de voorgevel zijn hoger dan de maximale ontheffingswaarden van 63 dB.

Dit betekent dat de woningen alleen gerealiseerd kunnen worden, mits de voorgevels als dove gevels worden uitgevoerd. Een dove gevel is een gevel zonder te openen delen ter plaatse van verblijfsruimten.

De resultaten staan weergegeven in bijlage 3.



## **5. Conclusies**

### Wet Geluidhinder

Toetsing van de berekende geluidbelastingen aan de voorkeursgrenswaarde en maximale ontheffingswaarde dient per geluidbron (weg) afzonderlijk te geschieden op de gevels van de geluidgevoelige bestemming. De voorkeursgrenswaarde bedraagt bij nieuwe bestemmingen met een woonfunctie 48 dB. Verder is bij aanwezige wegen en nog niet geprojecteerde geluidgevoelige woonfunctie onder bepaalde voorwaarden een ontheffing tot maximaal 63 (wegen binnen bebouwde kom) mogelijk.

Geconcludeerd kan worden dat ten gevolge van de omliggende wegen de voorkeursgrenswaarde van 48 dB op de voor- en zijgevels wordt overschreden. De geluidbelastingen voor de voorgevel zijn hoger dan de maximale ontheffingswaarden van 63 dB.

Dit betekent dat de woningen alleen gerealiseerd kunnen worden, mits de voorgevels als dove gevels worden uitgevoerd. Een dove gevel is een gevel zonder te openen delen ter plaatse van verblijfsruimten.

Voor de woningen dient een hogere waarde procedure te worden gevolgd, waarbij de te verlenen hogere waarden in tabel 4.1 staan bij de zijgevels van de woningen.

### Ruimtelijke ordening

De hoogste cumulatieve geluidsbelasting op de gevels van de nieuwe woningen bedraagt 70 dB. De binnenwaarde in de verblijfsruimten wordt getoetst / gewaarborgd door de vereisten uit het Bouwbesluit, te weten 33 dB. Om deze binnenwaarde te halen, moet bij onderhavig project met deze geluidsbelasting op de gevel een minimale geluidsisolatie van  $(70-33=)$  37 dB worden bereikt. Deze gevelwering kan door middel van een aantal maatregelen worden bereikt. Dit zal in een separaat rapport ten tijde van de omgevingsaanvraag worden onderbouwd. Hierdoor is een goed woon- en leefklimaat ook in de woningen gegarandeerd.

De achtergevels van de woning kunnen worden beschouwd als geluidsluwe gevels.


## **Bijlage 1 : Situatietekening en luchtfoto**



# Valkenswaardeseweg 5, Leende

Akoestisch onderzoek wegverkeerslawaaï

## Legenda

 Valkenswaardeseweg 5





project

**Nieuwbouw Woningen**

**Valkenswaardseweg**  
projectnummer

**2018 030**

opdrachtgever

**Sprankenis berging+transport**

**Dhr. & mevr. Sprankenis**

**Valkenswaardseweg 5**

**Leende**

fase

**VOORLOPIG ONTWERP**

architect

**ir. Roel Lamers architect BNA**

tekenaar

**Gerwin van den Boogaart**

schaal

**1:1000**

datum

**8 Februari 2021**

wijzigings datum

tekening

**Situatie**

bladnummer

**V003 / A3**

[www.architectenburozijl.nl](http://www.architectenburozijl.nl)

[info@architectenburozijl.nl](mailto:info@architectenburozijl.nl)

6026 CV Maarheeze

0495-745945 / 06-72999518

**A R C H I T E C T E N**

**B U R O**  
**ZIJL**





project

**Nieuwbouw Woningen**

**Valkenswaardseweg**  
projectnummer

**2018 030**

opdrachtgever

**Sprankenis berging+transport**

**Dhr. & mevr. Sprankenis**

**Valkenswaardseweg 5**

**Leende**

fase

**VOORLOPIG ONTWERP**

architect

**ir. Roel Lamers architect BNA**

tekenaar

**Gerwin van den Boogaart**

schaal

**1:300**

datum

**8 Februari 2021**

wijzigings datum

tekening

**Situatie**

bladnummer

**V003 / A3**

www.architectenburozijl.nl

Stationsstraat 12b

0495-745945 / 06-72999518

**A R C H I T E C T E N**

**B U R O**  
**ZIJL**



project

**Nieuwbouw Woningen**

**Valkenswaardseweg**  
projectnummer

**2018 030**

opdrachtgever

**Sprankenis berging+transport**

**Dhr. & mevr. Sprankenis**

**Valkenswaardseweg 5**

**Leende**

fase

**VOORLOPIG ONTWERP**

architect

**ir. Roel Lamers architect BNA**

tekenaar

**Gerwin van den Boogaart**

schaal

**1:200**

datum

**8 Februari 2021**

wijzigings datum

tekening

**Perceel**

bladnummer

**V003 / A3**

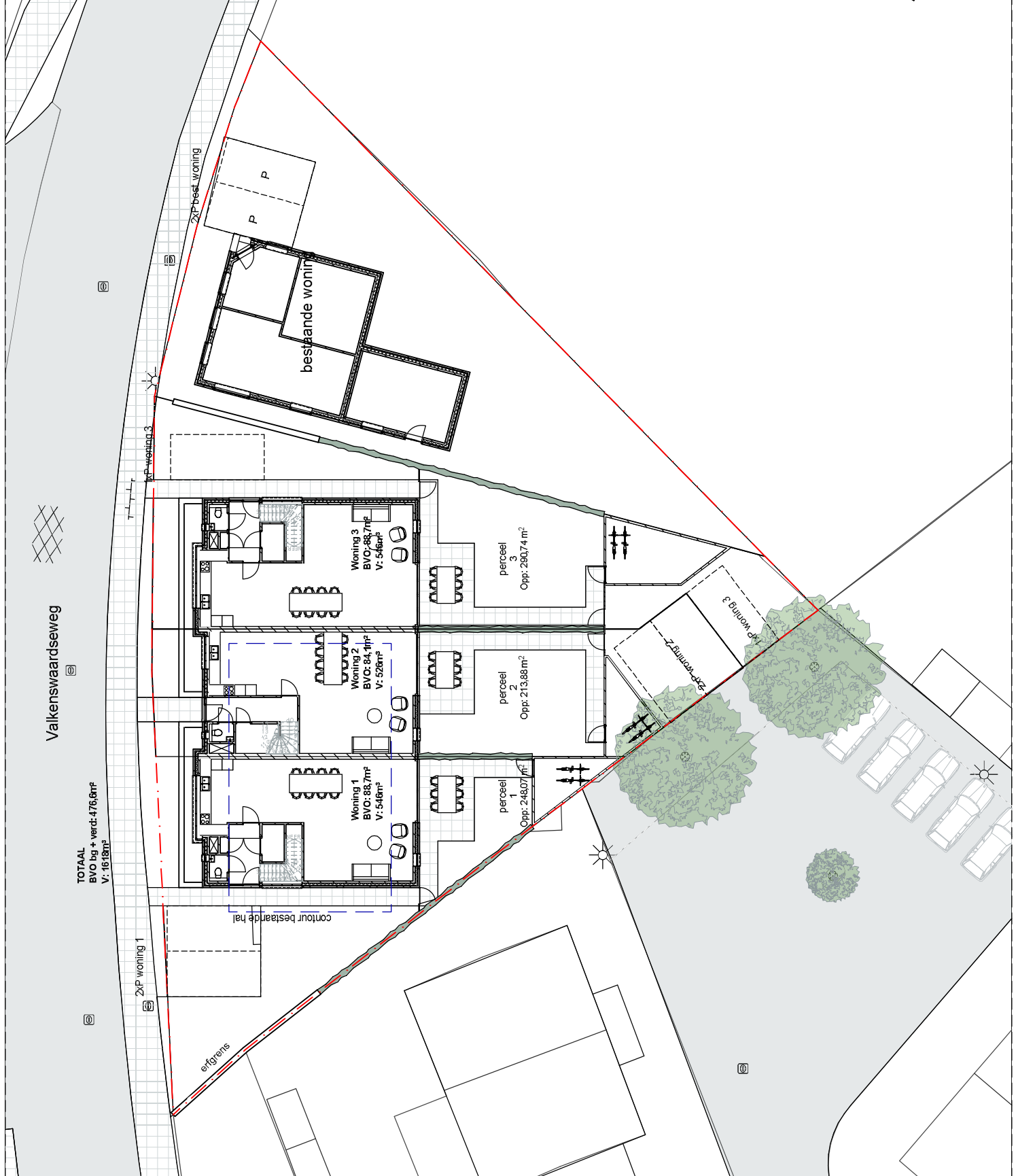
www.architectenburozijn.nl

info@architectenburozijn.nl

0495-745945 / 06-12969518

**ARCHITECTEN**

**BURO**  
**ZIJN**



TOTAAL  
BVO bg + verd.: 476,8m²  
V: 1618m³

Valkenswaardseweg

## **Bijlage 2 : Invoergegevens wegverkeerslawai**





373600

373400







Rapport: Lijst van model eigenschappen  
Model: Planjaar2031

Model eigenschap

|  |   |
|--|---|
| Omschrijving                             | Planjaar2031                                      |
| Verantwoordelijke                        | wil   |
| Rekenmethode                             | #2 Wegverkeerslawaai RMW-2012                     |
| Aangemaakt door                          | wil op 28-9-2020                                  |
| Laatst ingezien door                     | wil op 11-6-2021                                  |
| Model aangemaakt met                     | Geomilieu V5.21                                   |
| Dagperiode                               | 07:00 - 19:00                                     |
| Avondperiode                             | 19:00 - 23:00                                     |
| Nachtperiode                             | 23:00 - 07:00                                     |
| Samengestelde periode                    | Lden  |
| Waarde                                   | Gem(Dag, Avond + 5, Nacht + 10)                   |
| Standaard maaiveldhoogte                 | 0   |
| Rekenhoogte contouren                    | 5   |
| Detailniveau toetspunt resultaten        | Bronresultaten                                    |
| Detailniveau resultaten grids            | Groepsresultaten                                  |
| Zoekafstand [m]                          | --  |
| Max. reflectie afstand tot bron [m]      | --  |
| Max. reflectie afstand tot ontvanger [m] | --  |
| Standaard bodemfactor                    | 0,70  |
| Zichthoek [grd]                          | 2   |
| Maximale reflectiediepte                 | 1   |
| Reflectie in woonwijken schermen         | Ja  |
| Geometrische uitbreiding                 | Volledige 3D analyse                              |
| Luchtdemping                             | Conform standaard                                 |
| Luchtdemping [dB/km]                     | 0,00; 0,00; 1,00; 2,00; 4,00; 10,00; 23,00; 58,00 |
| Meteorologische correctie                | Conform standaard                                 |
| Waarde voor C0                           | 3,50  |



Rapport: Groepsreducties  
Model: Planjaar2031

| Groep             | Reductie |       |       | Sommatie |       |       |
|-------------------|----------|-------|-------|----------|-------|-------|
|                   | Dag      | Avond | Nacht | Dag      | Avond | Nacht |
| bgt_pand.gml      | 0,00     | 0,00  | 0,00  | 0,00     | 0,00  | 0,00  |
| Valkenswaardseweg | 5,00     | 5,00  | 5,00  | 5,00     | 5,00  | 5,00  |

Akoestisch onderzoek wegverkeerslawaai  
Valkenswaardseweg 5, Leende

M&A Omgeving BV  
Juni 2021

Model: Planjaar2031  
Wegverkeerslawaai ivm nieuwbouw woningen - Valkenswaardseweg 5, Leende  
(hoofdgroep)  
Groep: Lijst van Wegen, voor rekenmethode Wegverkeerslawaai - RMW-2012

| Groep             | ItemID | Grp.ID | Datum              | 1e kid | NrKids | Naam     | Omschr.           | Vorm     | X-1       | Y-1       | X-n       |
|-------------------|--------|--------|--------------------|--------|--------|----------|-------------------|----------|-----------|-----------|-----------|
| Valkenswaardseweg | 429    | 2      | 14:18, 28 sep 2020 | -97    | 2      | Valkensw | Valkenswaardseweg | Polylijn | 166517,64 | 373445,23 | 166130,56 |

Akoestisch onderzoek wegverkeerslawaai  
 Valkenswaardseweg 5, Leende

M&A Omgeving BV  
 Juni 2021

Model: Planjaar2031  
 Wegverkeerslawaai ivm nieuwbouw woningen - Valkenswaardseweg 5, Leende  
 (hoofdgroep)  
 Groep: Lijst van Wegen, voor rekenmethode Wegverkeerslawaai - RMW-2012

| Groep             | Y-n       | H-1  | H-n  | M-1  | M-n  | ISO_H | Min.RH | Max.RH | Min.AH | Max.AH | ISO M. | Hdef.    | Vormpunten | Lengte |
|-------------------|-----------|------|------|------|------|-------|--------|--------|--------|--------|--------|----------|------------|--------|
| Valkenswaardseweg | 373468,45 | 0,00 | 0,00 | 0,00 | 0,00 | 0,00  | 0,00   | 0,00   | 0,00   | 0,00   | 0,00   | Relatief | 16         | 468,16 |

Akoestisch onderzoek wegverkeerslawaaï  
Valkenswaardseweg 5, Leende

M&A Omgeving BV  
Juni 2021

Model: Planjaar2031  
Wegverkeerslawaaï ivm nieuwbouw woningen - Valkenswaardseweg 5, Leende  
(hoofdgroep)  
Groep: Lijst van Wegen, voor rekenmethode Wegverkeerslawaaï - RMW-2012

|                   |          |            |            |           |       |       |       |         |        |                                     |          |          |
|-------------------|----------|------------|------------|-----------|-------|-------|-------|---------|--------|-------------------------------------|----------|----------|
| Groep             | Lengte3D | Min.lengte | Max.lengte | Type      | Cpl   | Cpl_W | Hbron | Helling | Wegdek | Wegdek                              | V(MR(D)) | V(MR(A)) |
| Valkenswaardseweg | 468,16   | 0,76       | 53,68      | Verdeling | False | 1,5   | 0,75  | 0       | W9a    | Elementenverharding in keperverband | 50       | 50       |



Akoestisch onderzoek wegverkeerslawaaï  
 Valkenswaardseweg 5, Leende

M&A Omgeving BV  
 Juni 2021

Model: Planjaar2031  
 Wegverkeerslawaaï ivm nieuwbouw woningen - Valkenswaardseweg 5, Leende  
 (hoofdgroep)  
 Groep: Lijst van Wegen, voor rekenmethode Wegverkeerslawaaï - RMW-2012

| Groep             | V(MR(N)) | V(MR(P4)) | V(LV(D)) | V(LV(A)) | V(LV(N)) | V(LV(P4)) | V(MV(D)) | V(MV(A)) | V(MV(N)) | V(MV(P4)) | V(ZV(D)) | V(ZV(A)) | V(ZV(N)) | V(ZV(P4)) | Crow965 |
|-------------------|----------|-----------|----------|----------|----------|-----------|----------|----------|----------|-----------|----------|----------|----------|-----------|---------|
| Valkenswaardseweg | 50       | ---       | 50       | 50       | 50       | ---       | 50       | 50       | 50       | ---       | 50       | 50       | 50       | ---       | False   |

Akoestisch onderzoek wegverkeerslawaaai  
 Valkenswaardseweg 5, Leende

M&A Omgeving BV  
 Juni 2021

Model: Planjaar2031  
 Wegverkeerslawaaai ivm nieuwbouw woningen - Valkenswaardseweg 5, Leende  
 (hoofdgroep)  
 Groep: Lijst van Wegen, voor rekenmethode Wegverkeerslawaaai - RMW-2012

| Groep             | Totaal aantal | %Int(D) | %Int(A) | %Int(N) | %Int(P4) | %MR(D) | %MR(A) | %MR(N) | %MR(P4) | %LV(D) | %LV(A) | %LV(N) | %LV(P4) | %MV(D) | %MV(A) | %MV(N) | %MV(P4) | %ZV(D) |
|-------------------|---------------|---------|---------|---------|----------|--------|--------|--------|---------|--------|--------|--------|---------|--------|--------|--------|---------|--------|
| Valkenswaardseweg | 10390,00      | 6,52    | 3,70    | 0,88    | --       | --     | --     | --     | --      | 92,70  | 94,50  | 92,34  | --      | 5,62   | 4,56   | 6,74   | --      | 1,68   |

Akoestisch onderzoek wegverkeerslawaaï  
 Valkenswaardseweg 5, Leende

M&A Omgeving BV  
 Juni 2021

Model: Planjaar2031  
 Wegverkeerslawaaï ivm nieuwbouw woningen - Valkenswaardseweg 5, Leende  
 (hoofdgroep)  
 Groep: Lijst van Wegen, voor rekenmethode Wegverkeerslawaaï - RMW-2012

| Groep             | %ZV(A) | %ZV(N) | %ZV(P4) | MR(D) | MR(A) | MR(N) | MR(P4) | IV(D)  | IV(A)  | IV(N) | IV(P4) | MV(D) | MV(A) | MV(N) | MV(P4) | ZV(D) | ZV(A) |
|-------------------|--------|--------|---------|-------|-------|-------|--------|--------|--------|-------|--------|-------|-------|-------|--------|-------|-------|
| Valkenswaardseweg | 0,93   | 0,92   | --      | --    | --    | --    | --     | 627,98 | 363,29 | 84,43 | --     | 38,07 | 17,53 | 6,16  | --     | 11,38 | 3,58  |

Akoestisch onderzoek wegverkeerslawaaï  
 Valkenswaardseweg 5, Leende

M&A Omgeving BV  
 Juni 2021

Model: Planjaar2031

Wegverkeerslawaaï ivm nieuwbouw woningen - Valkenswaardseweg 5, Leende  
 (hoofdgroep)

Groep: Lijst van Wegen, voor rekenmethode Wegverkeerslawaaï - RMW-2012

| Groep             | ZV(N) | ZV(P4) | BGE   | IE (D) 63 | IE (D) 125 | IE (D) 250 | IE (D) 500 | IE (D) 1k | IE (D) 2k | IE (D) 4k | IE (D) 8k | IE (D) Totaal | IE (A) 63 | IE (A) 125 |
|-------------------|-------|--------|-------|-----------|------------|------------|------------|-----------|-----------|-----------|-----------|---------------|-----------|------------|
| Valkenswaardseweg | 0,84  | --     | 115,0 | 91,74     | 99,53      | 105,50     | 107,08     | 111,05    | 104,01    | 98,78     | 90,70     | 114,12        | 88,69     | 96,39      |



Akoestisch onderzoek wegverkeerslawaaï  
 Valkenswaardseweg 5, Leende

M&A Omgeving BV  
 Juni 2021

Model: Planjaar2031

Wegverkeerslawaaï ivm nieuwbouw woningen - Valkenswaardseweg 5, Leende  
 (hoofdgroep)

Groep: Lijst van Wegen, voor rekenmethode Wegverkeerslawaaï - RMW-2012

| Groep             | LE (N) | 8k | LE (N) | LE (P4) | 63 | LE (P4) | 125 | LE (P4) | 250 | LE (P4) | 500 | LE (P4) | 1k | LE (P4) | 2k | LE (P4) | 4k | LE (P4) | 8k | LE (P4) | Totaal |        |
|-------------------|--------|----|--------|---------|----|---------|-----|---------|-----|---------|-----|---------|----|---------|----|---------|----|---------|----|---------|--------|--------|
| Valkenswaardseweg | 82,00  |    |        |         |    |         |     |         |     |         |     |         |    |         |    |         |    |         |    |         |        | 105,37 |

Akoestisch onderzoek wegverkeerslawaaai  
 Valkenswaardseweg 5, Leende

M&A Omgeving BV  
 Juni 2021

Model: Planjaar2031  
 Wegverkeerslawaaai ivm nieuwbouw woningen - Valkenswaardseweg 5, Leende  
 (hoofdgroep)  
 Groep: Lijst van Toetspunten, voor rekenmethode Wegverkeerslawaaai - RMW-2012

| Groep | ItemID | Grp.ID | Datum              | le kid | NrKids | Naam | Omschr.          | Vorm | X         | Y         | Maaiveld | Hdef.    | Hoogte A | Hoogte B |
|-------|--------|--------|--------------------|--------|--------|------|------------------|------|-----------|-----------|----------|----------|----------|----------|
| --    | 643    | 0      | 13:43, 11 jun 2021 | -99    | 3      | W1   | Voorgevel        | Punt | 166359,82 | 373558,70 | 0,00     | Relatief | 1,50     | 5,00     |
| --    | 644    | 0      | 13:44, 11 jun 2021 | -105   | 3      | W2   | Linker zijgevel  | Punt | 166369,98 | 373556,58 | 0,00     | Relatief | 1,50     | 5,00     |
| --    | 645    | 0      | 13:44, 11 jun 2021 | -111   | 3      | W3   | Rechter zijgevel | Punt | 166349,68 | 373556,87 | 0,00     | Relatief | 1,50     | 5,00     |
| --    | 646    | 0      | 13:44, 11 jun 2021 | -117   | 3      | W4   | Achtergevel      | Punt | 166363,16 | 373546,45 | 0,00     | Relatief | 1,50     | 5,00     |

Akoestisch onderzoek wegverkeerslawaaai  
Valkenswaardseweg 5, Leende

M&A Omgeving BV  
Juni 2021

Model: Planjaar2031  
Wegverkeerslawaaai ivm nieuwbouw woningen - Valkenswaardseweg 5, Leende  
(hoofdgroep)  
Groep: Lijst van Toetspunten, voor rekenmethode Wegverkeerslawaaai - RMW-2012

| Groep | Hoogte C | Hoogte D | Hoogte E | Hoogte F | Hoogtes        | Gevel |
|-------|----------|----------|----------|----------|----------------|-------|
| --    | 7,50     | --       | --       | --       | 1,50/5,00/7,50 | Ja    |
| --    | 7,50     | --       | --       | --       | 1,50/5,00/7,50 | Ja    |
| --    | 7,50     | --       | --       | --       | 1,50/5,00/7,50 | Ja    |
| --    | 7,50     | --       | --       | --       | 1,50/5,00/7,50 | Ja    |



Akoestisch onderzoek wegverkeerslawaaï  
 Valkenswaardseweg 5, Leende

M&A Omgeving BV  
 Juni 2021

Model: Planjaar2031  
 Wegverkeerslawaaï ivm nieuwbouw woningen - Valkenswaardseweg 5, Leende  
 (hoofdgroep)  
 Groep: Lijst van Bodengebieden, voor rekenmethode Wegverkeerslawaaï - RMW-2012

| Groep | ItemID | Grp.ID | Datum              | Naam       | Omschr.           | Vorm     | X-l       | Y-l       | Vormpunten | Omtrek | Oppervlak |
|-------|--------|--------|--------------------|------------|-------------------|----------|-----------|-----------|------------|--------|-----------|
| --    | 428    | 0      | 14:14, 28 sep 2020 | Valkenswaa | Valkenswaardseweg | Polygoon | 166505,08 | 373458,17 | 30         | 945,09 | 4939,29   |

Akoestisch onderzoek wegverkeerslawaaai  
Valkenswaardseweg 5, Leende

M&A Omgeving BV  
Juni 2021

Model: Planjaar2031  
Wegverkeerslawaaai ivm nieuwbouw woningen - Valkenswaardseweg 5, Leende  
(hoofdgroep)  
Groep: Lijst van Bodengebieden, voor rekenmethode Wegverkeerslawaaai - RMW-2012

| Groep | Min. lengte | Max. lengte | Bf   |
|-------|-------------|-------------|------|
| --    | 11,65       | 54,44       | 0,00 |

**Akoestisch onderzoek wegverkeerslawaai  
Valkenswaardseweg 5, Leende**

**M&A Omgeving BV  
Juni 2021**

Model: Planjaar2031  
Wegverkeerslawaai ivm nieuwbouw woningen - Valkenswaardseweg 5, Leende  
Groep: (hoofdgroep)  
Lijst van Gebouwen, voor rekenmethode Wegverkeerslawaai - RMW-2012

| Groep        | ItemID | Grp.ID | Datum              | Naam     | Omschr.          | Vorm     | X-1       | Y-1       | Hoogte | Rel.H | Maaiiveld | Hdef.    | Vormpunten |
|--------------|--------|--------|--------------------|----------|------------------|----------|-----------|-----------|--------|-------|-----------|----------|------------|
| --           | 460    | 0      | 13:48, 11 jun 2021 | 5        | 1658100000019419 | Polygoon | 166377,56 | 373549,25 | 8,00   | 8,00  | 0,00      | Relatief | 13         |
| --           | 642    | 0      | 13:43, 11 jun 2021 | Woningen | Nieuwe woningen  | Polygoon | 166369,70 | 373546,48 | 8,00   | 8,00  | 0,00      | Relatief | 4          |
| bgt_pand.gml | 1      | 1      | 14:05, 28 sep 2020 | 29       | 1658100000019893 | Polygoon | 166247,32 | 373440,98 | 7,00   | 7,00  | 0,00      | Relatief | 11         |
| bgt_pand.gml | 4      | 1      | 14:05, 28 sep 2020 | 41a      | 1658100000019092 | Polygoon | 166584,97 | 373490,68 | 7,00   | 7,00  | 0,00      | Relatief | 10         |
| bgt_pand.gml | 5      | 1      | 14:05, 28 sep 2020 |          | 8888888888888888 | Polygoon | 166600,52 | 373481,68 | 7,00   | 7,00  | 0,00      | Relatief | 4          |
| bgt_pand.gml | 6      | 1      | 14:05, 28 sep 2020 | 19       | 1658100000041540 | Polygoon | 166572,39 | 373571,78 | 7,00   | 7,00  | 0,00      | Relatief | 12         |
| bgt_pand.gml | 8      | 1      | 14:05, 28 sep 2020 | 4a       | 1658100000019428 | Polygoon | 166399,59 | 373633,62 | 7,00   | 7,00  | 0,00      | Relatief | 10         |
| bgt_pand.gml | 9      | 1      | 14:05, 28 sep 2020 | 40       | 1658100000019090 | Polygoon | 166571,34 | 373520,41 | 7,00   | 7,00  | 0,00      | Relatief | 14         |
| bgt_pand.gml | 10     | 1      | 14:05, 28 sep 2020 | 16       | 1658100000041543 | Polygoon | 166555,34 | 373561,06 | 7,00   | 7,00  | 0,00      | Relatief | 4          |
| bgt_pand.gml | 13     | 1      | 14:05, 28 sep 2020 | 4a       | 1658100000019428 | Polygoon | 166399,59 | 373633,62 | 7,00   | 7,00  | 0,00      | Relatief | 10         |
| bgt_pand.gml | 15     | 1      | 14:05, 28 sep 2020 | 3        | 1658100000019962 | Polygoon | 166148,41 | 373581,63 | 7,00   | 7,00  | 0,00      | Relatief | 11         |
| bgt_pand.gml | 16     | 1      | 14:05, 28 sep 2020 |          | 1658100000042317 | Polygoon | 166309,47 | 373499,20 | 7,00   | 7,00  | 0,00      | Relatief | 6          |
| bgt_pand.gml | 17     | 1      | 14:05, 28 sep 2020 | 1-7      | 1658100000019450 | Polygoon | 166476,32 | 373488,64 | 7,00   | 7,00  | 0,00      | Relatief | 18         |
| bgt_pand.gml | 19     | 1      | 14:05, 28 sep 2020 | 14-15    | 1658100000041544 | Polygoon | 166556,95 | 373546,19 | 7,00   | 7,00  | 0,00      | Relatief | 10         |
| bgt_pand.gml | 20     | 1      | 14:05, 28 sep 2020 | 14-15    | 1658100000041544 | Polygoon | 166551,94 | 373557,17 | 7,00   | 7,00  | 0,00      | Relatief | 5          |
| bgt_pand.gml | 21     | 1      | 14:05, 28 sep 2020 | 8        | 1658100000029686 | Polygoon | 166290,84 | 373636,87 | 7,00   | 7,00  | 0,00      | Relatief | 10         |
| bgt_pand.gml | 24     | 1      | 14:05, 28 sep 2020 | 6        | 1658100000019878 | Polygoon | 166249,70 | 373418,65 | 7,00   | 7,00  | 0,00      | Relatief | 12         |
| bgt_pand.gml | 26     | 1      | 14:05, 28 sep 2020 | 10       | 1658100000029685 | Polygoon | 166299,44 | 373643,40 | 7,00   | 7,00  | 0,00      | Relatief | 13         |
| bgt_pand.gml | 27     | 1      | 14:05, 28 sep 2020 | 8        | 1658100000019876 | Polygoon | 166237,57 | 373419,99 | 7,00   | 7,00  | 0,00      | Relatief | 10         |
| bgt_pand.gml | 28     | 1      | 14:05, 28 sep 2020 | 14-15    | 1658100000041544 | Polygoon | 166556,95 | 373546,19 | 7,00   | 7,00  | 0,00      | Relatief | 10         |
| bgt_pand.gml | 29     | 1      | 14:05, 28 sep 2020 | 7        | 1658100000019994 | Polygoon | 166324,41 | 373544,83 | 7,00   | 7,00  | 0,00      | Relatief | 6          |
| bgt_pand.gml | 30     | 1      | 14:05, 28 sep 2020 | 3        | 1658100000040602 | Polygoon | 166447,64 | 373525,50 | 7,00   | 7,00  | 0,00      | Relatief | 16         |
| bgt_pand.gml | 31     | 1      | 14:05, 28 sep 2020 |          | 1658100000044768 | Polygoon | 166487,50 | 373538,62 | 7,00   | 7,00  | 0,00      | Relatief | 12         |
| bgt_pand.gml | 32     | 1      | 14:05, 28 sep 2020 | 2-44     | 1658100000019421 | Polygoon | 166416,84 | 373352,49 | 7,00   | 7,00  | 0,00      | Relatief | 89         |
| bgt_pand.gml | 33     | 1      | 14:05, 28 sep 2020 | 46       | 1658100000041533 | Polygoon | 166542,63 | 373455,59 | 7,00   | 7,00  | 0,00      | Relatief | 8          |
| bgt_pand.gml | 34     | 1      | 14:05, 28 sep 2020 | 14       | 1658100000041544 | Polygoon | 166556,95 | 373546,19 | 7,00   | 7,00  | 0,00      | Relatief | 9          |
| bgt_pand.gml | 36     | 1      | 14:05, 28 sep 2020 |          | 1658100000033963 | Polygoon | 166333,14 | 373642,63 | 7,00   | 7,00  | 0,00      | Relatief | 7          |
| bgt_pand.gml | 37     | 1      | 14:05, 28 sep 2020 | 8        | 1658100000019876 | Polygoon | 166237,57 | 373419,99 | 7,00   | 7,00  | 0,00      | Relatief | 11         |
| bgt_pand.gml | 38     | 1      | 14:05, 28 sep 2020 |          | 1658100000043218 | Polygoon | 166116,78 | 373653,78 | 7,00   | 7,00  | 0,00      | Relatief | 7          |
| bgt_pand.gml | 39     | 1      | 14:05, 28 sep 2020 | 7        | 1658100000019107 | Polygoon | 166597,24 | 373630,44 | 7,00   | 7,00  | 0,00      | Relatief | 7          |
| bgt_pand.gml | 42     | 1      | 14:05, 28 sep 2020 | 41       | 1658100000019988 | Polygoon | 166252,73 | 373498,07 | 7,00   | 7,00  | 0,00      | Relatief | 11         |
| bgt_pand.gml | 44     | 1      | 14:05, 28 sep 2020 | 15       | 1658100000019970 | Polygoon | 166226,79 | 373506,84 | 7,00   | 7,00  | 0,00      | Relatief | 9          |
| bgt_pand.gml | 45     | 1      | 14:05, 28 sep 2020 | 5        | 1658100000019108 | Polygoon | 166601,17 | 373625,81 | 7,00   | 7,00  | 0,00      | Relatief | 7          |
| bgt_pand.gml | 46     | 1      | 14:05, 28 sep 2020 | 31c      | 1658100000019896 | Polygoon | 166236,69 | 373463,89 | 7,00   | 7,00  | 0,00      | Relatief | 8          |
| bgt_pand.gml | 48     | 1      | 14:05, 28 sep 2020 | 6        | 1658100000037541 | Polygoon | 166564,70 | 373603,45 | 7,00   | 7,00  | 0,00      | Relatief | 9          |

Akoestisch onderzoek wegverkeerslawaai  
Valkenswaardseweg 5, Leende

M&A Omgeving BV  
Juni 2021

Model: Planjaar2031  
Wegverkeerslawaai ivm nieuwbouw woningen - Valkenswaardseweg 5, Leende  
Groep: (hoofdgroep)  
Lijst van Gebouwen, voor rekenmethode Wegverkeerslawaai - RMW-2012

| Groep        | Omtrek | Oppervlak | Min.lengte | Max.lengte | FUNCTIE     | Gebouwtype | BAG-id | Gemeente | Jaar | AHN-jaar | Trust | Cp | Zwevend | Refl. 63 |
|--------------|--------|-----------|------------|------------|-------------|------------|--------|----------|------|----------|-------|----|---------|----------|
| --           | 60,29  | 126,60    | 0,52       | 14,53      |             |            |        |          | 0    | 0        | 0     | 0  | 0       | 0,80     |
| --           | 64,29  | 241,88    | 11,86      | 20,18      |             |            |        |          | 0    | 0        | 0     | 0  | 0       | 0,80     |
| bgt_pand.gml | 45,27  | 83,42     | 0,11       | 12,51      | Woonfunctie |            |        |          | 0    | 0        | 0     | 0  | 0       | 0,80     |
| bgt_pand.gml | 43,56  | 104,47    | 0,18       | 9,87       |             |            |        |          | 0    | 0        | 0     | 0  | 0       | 0,80     |
| bgt_pand.gml | 10,71  | 5,43      | 1,36       | 3,99       |             |            |        |          | 0    | 0        | 0     | 0  | 0       | 0,80     |
| bgt_pand.gml | 47,39  | 92,53     | 0,04       | 10,98      |             |            |        |          | 0    | 0        | 0     | 0  | 0       | 0,80     |
| bgt_pand.gml | 36,25  | 70,48     | 0,85       | 8,43       |             |            |        |          | 0    | 0        | 0     | 0  | 0       | 0,80     |
| bgt_pand.gml | 79,59  | 252,48    | 0,35       | 17,08      |             |            |        |          | 0    | 0        | 0     | 0  | 0       | 0,80     |
| bgt_pand.gml | 32,30  | 56,77     | 5,17       | 10,98      |             |            |        |          | 0    | 0        | 0     | 0  | 0       | 0,80     |
| bgt_pand.gml | 36,97  | 77,32     | 0,85       | 8,43       |             |            |        |          | 0    | 0        | 0     | 0  | 0       | 0,80     |
| bgt_pand.gml | 67,79  | 261,31    | 0,21       | 13,98      |             |            |        |          | 0    | 0        | 0     | 0  | 0       | 0,80     |
| bgt_pand.gml | 12,96  | 9,91      | 0,92       | 4,01       |             |            |        |          | 0    | 0        | 0     | 0  | 0       | 0,80     |
| bgt_pand.gml | 136,52 | 473,86    | 0,49       | 18,49      |             |            |        |          | 0    | 0        | 0     | 0  | 0       | 0,80     |
| bgt_pand.gml | 46,48  | 84,15     | 0,19       | 10,98      |             |            |        |          | 0    | 0        | 0     | 0  | 0       | 0,80     |
| bgt_pand.gml | 31,92  | 54,65     | 0,19       | 10,98      |             |            |        |          | 0    | 0        | 0     | 0  | 0       | 0,80     |
| bgt_pand.gml | 46,75  | 76,25     | 0,92       | 9,20       |             |            |        |          | 0    | 0        | 0     | 0  | 0       | 0,80     |
| bgt_pand.gml | 48,86  | 119,40    | 0,27       | 12,25      |             |            |        |          | 0    | 0        | 0     | 0  | 0       | 0,80     |
| bgt_pand.gml | 49,29  | 93,37     | 0,92       | 9,20       |             |            |        |          | 0    | 0        | 0     | 0  | 0       | 0,80     |
| bgt_pand.gml | 48,73  | 118,69    | 0,71       | 7,67       |             |            |        |          | 0    | 0        | 0     | 0  | 0       | 0,80     |
| bgt_pand.gml | 46,48  | 84,15     | 0,19       | 10,98      |             |            |        |          | 0    | 0        | 0     | 0  | 0       | 0,80     |
| bgt_pand.gml | 32,80  | 63,02     | 2,97       | 10,25      |             |            |        |          | 0    | 0        | 0     | 0  | 0       | 0,80     |
| bgt_pand.gml | 100,44 | 345,61    | 0,58       | 18,55      |             |            |        |          | 0    | 0        | 0     | 0  | 0       | 0,80     |
| bgt_pand.gml | 42,72  | 92,52     | 0,10       | 8,22       |             |            |        |          | 0    | 0        | 0     | 0  | 0       | 0,80     |
| bgt_pand.gml | 574,29 | 3843,18   | 0,21       | 44,55      |             |            |        |          | 0    | 0        | 0     | 0  | 0       | 0,80     |
| bgt_pand.gml | 52,89  | 167,80    | 2,07       | 10,53      |             |            |        |          | 0    | 0        | 0     | 0  | 0       | 0,80     |
| bgt_pand.gml | 46,29  | 85,22     | 0,45       | 10,98      |             |            |        |          | 0    | 0        | 0     | 0  | 0       | 0,80     |
| bgt_pand.gml | 23,75  | 25,02     | 0,22       | 5,95       |             |            |        |          | 0    | 0        | 0     | 0  | 0       | 0,80     |
| bgt_pand.gml | 48,73  | 118,69    | 0,71       | 7,26       |             |            |        |          | 0    | 0        | 0     | 0  | 0       | 0,80     |
| bgt_pand.gml | 66,39  | 225,92    | 0,36       | 23,20      |             |            |        |          | 0    | 0        | 0     | 0  | 0       | 0,80     |
| bgt_pand.gml | 34,92  | 61,04     | 1,66       | 11,39      |             |            |        |          | 0    | 0        | 0     | 0  | 0       | 0,80     |
| bgt_pand.gml | 47,08  | 108,95    | 1,16       | 9,11       |             |            |        |          | 0    | 0        | 0     | 0  | 0       | 0,80     |
| bgt_pand.gml | 29,47  | 48,17     | 0,01       | 7,55       |             |            |        |          | 0    | 0        | 0     | 0  | 0       | 0,80     |
| bgt_pand.gml | 38,04  | 73,26     | 1,30       | 13,00      |             |            |        |          | 0    | 0        | 0     | 0  | 0       | 0,80     |
| bgt_pand.gml | 32,18  | 61,18     | 0,17       | 9,92       |             |            |        |          | 0    | 0        | 0     | 0  | 0       | 0,80     |
| bgt_pand.gml | 47,43  | 100,90    | 0,44       | 10,80      |             |            |        |          | 0    | 0        | 0     | 0  | 0       | 0,80     |



**Akoestisch onderzoek wegverkeerslawaaï  
Valkenswaardseweg 5, Leende**

**M&A Omgeving BV  
Juni 2021**

Model: Planjaar2031  
Wegverkeerslawaaï ivm nieuwbouw woningen - Valkenswaardseweg 5, Leende  
Groep: (hoofdgroep)  
Lijst van Gebouwen, voor rekenmethode Wegverkeerslawaaï - RMW-2012

| Groep        | ItemID | Grp.ID | Datum              | Naam   | Omschr.          | Vorm     | X-1       | Y-1       | Hoogte | Rel.H | Maaienveld | Hdef.    | Vormpunten |
|--------------|--------|--------|--------------------|--------|------------------|----------|-----------|-----------|--------|-------|------------|----------|------------|
| bgt_pand.gml | 50     | 1      | 14:05, 28 sep 2020 | 18     | 1658100000019886 | Polygoon | 166285,84 | 373483,98 | 7,00   | 7,00  | 0,00       | Relatief | 5          |
| bgt_pand.gml | 51     | 1      | 14:05, 28 sep 2020 | 6      | 1658100000029682 | Polygoon | 166282,23 | 373643,35 | 7,00   | 7,00  | 0,00       | Relatief | 6          |
| bgt_pand.gml | 52     | 1      | 14:05, 28 sep 2020 | 14     | 1658100000041544 | Polygoon | 166556,19 | 373546,19 | 7,00   | 7,00  | 0,00       | Relatief | 9          |
| bgt_pand.gml | 54     | 1      | 14:05, 28 sep 2020 | 20     | 1658100000020011 | Polygoon | 166359,24 | 373588,32 | 7,00   | 7,00  | 0,00       | Relatief | 21         |
| bgt_pand.gml | 55     | 1      | 14:05, 28 sep 2020 | 14a    | 1658100000019449 | Polygoon | 166457,65 | 373616,46 | 7,00   | 7,00  | 0,00       | Relatief | 9          |
| bgt_pand.gml | 56     | 1      | 14:05, 28 sep 2020 |        | 1658100000029671 | Polygoon | 166555,14 | 373625,44 | 7,00   | 7,00  | 0,00       | Relatief | 5          |
| bgt_pand.gml | 57     | 1      | 14:05, 28 sep 2020 | 34     | 1658100000019616 | Polygoon | 166171,42 | 373407,86 | 7,00   | 7,00  | 0,00       | Relatief | 9          |
| bgt_pand.gml | 58     | 1      | 14:05, 28 sep 2020 | 13     | 1658100000019409 | Polygoon | 166357,35 | 373490,16 | 7,00   | 7,00  | 0,00       | Relatief | 5          |
| bgt_pand.gml | 61     | 1      | 14:05, 28 sep 2020 | 1      | 1658100000029841 | Polygoon | 166322,96 | 373449,86 | 7,00   | 7,00  | 0,00       | Relatief | 14         |
| bgt_pand.gml | 62     | 1      | 14:05, 28 sep 2020 | 13     | 1658100000043039 | Polygoon | 166535,51 | 373546,36 | 7,00   | 7,00  | 0,00       | Relatief | 10         |
| bgt_pand.gml | 63     | 1      | 14:05, 28 sep 2020 | 14b    | 1658100000019460 | Polygoon | 166468,21 | 373616,65 | 7,00   | 7,00  | 0,00       | Relatief | 7          |
| bgt_pand.gml | 64     | 1      | 14:05, 28 sep 2020 | 32     | 1658100000019998 | Polygoon | 166337,78 | 373516,57 | 7,00   | 7,00  | 0,00       | Relatief | 5          |
| bgt_pand.gml | 66     | 1      | 14:05, 28 sep 2020 | 9      | 1658100000037538 | Polygoon | 166541,46 | 373580,70 | 7,00   | 7,00  | 0,00       | Relatief | 9          |
| bgt_pand.gml | 67     | 1      | 14:05, 28 sep 2020 | 31/G06 | 1658100000041071 | Polygoon | 166221,02 | 373441,82 | 7,00   | 7,00  | 0,00       | Relatief | 4          |
| bgt_pand.gml | 69     | 1      | 14:05, 28 sep 2020 | 6b     | 1658100000019430 | Polygoon | 166426,01 | 373650,75 | 7,00   | 7,00  | 0,00       | Relatief | 10         |
| bgt_pand.gml | 70     | 1      | 14:05, 28 sep 2020 | 48     | 1658100000034118 | Polygoon | 166516,22 | 373420,45 | 7,00   | 7,00  | 0,00       | Relatief | 12         |
| bgt_pand.gml | 71     | 1      | 14:05, 28 sep 2020 | 3      | 1658100000019880 | Polygoon | 166323,28 | 373457,93 | 7,00   | 7,00  | 0,00       | Relatief | 5          |
| bgt_pand.gml | 73     | 1      | 14:05, 28 sep 2020 | 10     | 1658100000019875 | Polygoon | 166220,87 | 373420,91 | 7,00   | 7,00  | 0,00       | Relatief | 10         |
| bgt_pand.gml | 74     | 1      | 14:05, 28 sep 2020 | 14     | 1658100000019872 | Polygoon | 166295,14 | 373467,11 | 7,00   | 7,00  | 0,00       | Relatief | 11         |
| bgt_pand.gml | 77     | 1      | 14:05, 28 sep 2020 | 41     | 1658100000019091 | Polygoon | 166591,37 | 373500,12 | 7,00   | 7,00  | 0,00       | Relatief | 8          |
| bgt_pand.gml | 78     | 1      | 14:05, 28 sep 2020 | 4a     | 1658100000019963 | Polygoon | 166173,59 | 373657,40 | 7,00   | 7,00  | 0,00       | Relatief | 14         |
| bgt_pand.gml | 79     | 1      | 14:05, 28 sep 2020 | 17     | 1658100000019407 | Polygoon | 166368,81 | 373503,58 | 7,00   | 7,00  | 0,00       | Relatief | 4          |
| bgt_pand.gml | 81     | 1      | 14:05, 28 sep 2020 | 19     | 1658100000019412 | Polygoon | 166366,92 | 373513,51 | 7,00   | 7,00  | 0,00       | Relatief | 4          |
| bgt_pand.gml | 82     | 1      | 14:05, 28 sep 2020 | 22b    | 1658100000020014 | Polygoon | 166306,83 | 373588,46 | 7,00   | 7,00  | 0,00       | Relatief | 6          |
| bgt_pand.gml | 83     | 1      | 14:05, 28 sep 2020 |        | 8888888888888888 | Polygoon | 166600,52 | 373481,68 | 7,00   | 7,00  | 0,00       | Relatief | 4          |
| bgt_pand.gml | 85     | 1      | 14:05, 28 sep 2020 | 37     | 1658100000019100 | Polygoon | 166620,82 | 373526,55 | 7,00   | 7,00  | 0,00       | Relatief | 15         |
| bgt_pand.gml | 87     | 1      | 14:05, 28 sep 2020 | 45     | 1658100000019076 | Polygoon | 166576,44 | 373470,51 | 7,00   | 7,00  | 0,00       | Relatief | 15         |
| bgt_pand.gml | 89     | 1      | 14:05, 28 sep 2020 | 11     | 1658100000037537 | Polygoon | 166529,83 | 373576,47 | 7,00   | 7,00  | 0,00       | Relatief | 9          |
| bgt_pand.gml | 90     | 1      | 14:05, 28 sep 2020 | 24     | 1658100000019066 | Polygoon | 166521,20 | 373601,92 | 7,00   | 7,00  | 0,00       | Relatief | 11         |
| bgt_pand.gml | 91     | 1      | 14:05, 28 sep 2020 | 4      | 1658100000019983 | Polygoon | 166260,51 | 373636,51 | 7,00   | 7,00  | 0,00       | Relatief | 19         |
| bgt_pand.gml | 92     | 1      | 14:05, 28 sep 2020 | 4      | 1658100000019964 | Polygoon | 166140,32 | 373632,96 | 7,00   | 7,00  | 0,00       | Relatief | 14         |
| bgt_pand.gml | 93     | 1      | 14:05, 28 sep 2020 | 23a    | 1658100000019892 | Polygoon | 166126,45 | 373421,56 | 7,00   | 7,00  | 0,00       | Relatief | 9          |
| bgt_pand.gml | 94     | 1      | 14:05, 28 sep 2020 | 50     | 1658100000034117 | Polygoon | 166509,54 | 373389,42 | 7,00   | 7,00  | 0,00       | Relatief | 73         |
| bgt_pand.gml | 95     | 1      | 14:05, 28 sep 2020 | 20     | 1658100000019987 | Polygoon | 166278,12 | 373500,16 | 7,00   | 7,00  | 0,00       | Relatief | 5          |
| bgt_pand.gml | 98     | 1      | 14:05, 28 sep 2020 | 7a     | 1658100000019995 | Polygoon | 166317,50 | 373548,70 | 7,00   | 7,00  | 0,00       | Relatief | 7          |

**Akoestisch onderzoek wegverkeerslawaai  
Valkenswaardseweg 5, Leende**

**M&A Omgeving BV  
Juni 2021**

Model: Planjaar2031  
Wegverkeerslawaai ivm nieuwbouw woningen - Valkenswaardseweg 5, Leende  
Groep: (hoofdgroep)  
Lijst van Gebouwen, voor rekenmethode Wegverkeerslawaai - RMW-2012

| Groep        | Omtrek | Oppervlak | Min.lengte | Max.lengte | Funcctie | Gebouwtype | BAG-id | Gemeente | Jaar | AHN-jaar | Trust | Cp | Zwevend | Refl. 63 |      |
|--------------|--------|-----------|------------|------------|----------|------------|--------|----------|------|----------|-------|----|---------|----------|------|
| bgt_pand.gml | 28,47  | 50,04     | 2,91       | 7,89       |          |            |        |          | 0    | 0        | 0     | 0  | dB      | False    | 0,80 |
| bgt_pand.gml | 29,60  | 51,53     | 0,77       | 9,20       |          |            |        |          | 0    | 0        | 0     | 0  | dB      | False    | 0,80 |
| bgt_pand.gml | 46,29  | 85,22     | 0,45       | 10,98      |          |            |        |          | 0    | 0        | 0     | 0  | dB      | False    | 0,80 |
| bgt_pand.gml | 65,00  | 126,57    | 0,24       | 6,89       |          |            |        |          | 0    | 0        | 0     | 0  | dB      | False    | 0,80 |
| bgt_pand.gml | 37,36  | 67,69     | 1,79       | 8,82       |          |            |        |          | 0    | 0        | 0     | 0  | dB      | False    | 0,80 |
| bgt_pand.gml | 19,92  | 23,94     | 1,15       | 5,92       |          |            |        |          | 0    | 0        | 0     | 0  | dB      | False    | 0,80 |
| bgt_pand.gml | 46,37  | 99,84     | 2,15       | 9,66       |          |            |        |          | 0    | 0        | 0     | 0  | dB      | False    | 0,80 |
| bgt_pand.gml | 28,03  | 48,64     | 2,69       | 7,69       |          |            |        |          | 0    | 0        | 0     | 0  | dB      | False    | 0,80 |
| bgt_pand.gml | 42,77  | 91,31     | 0,11       | 7,73       |          |            |        |          | 0    | 0        | 0     | 0  | dB      | False    | 0,80 |
| bgt_pand.gml | 55,58  | 111,83    | 0,09       | 11,99      |          |            |        |          | 0    | 0        | 0     | 0  | dB      | False    | 0,80 |
| bgt_pand.gml | 37,76  | 70,42     | 1,49       | 12,03      |          |            |        |          | 0    | 0        | 0     | 0  | dB      | False    | 0,80 |
| bgt_pand.gml | 28,45  | 50,01     | 1,34       | 7,87       |          |            |        |          | 0    | 0        | 0     | 0  | dB      | False    | 0,80 |
| bgt_pand.gml | 47,44  | 100,92    | 0,44       | 10,81      |          |            |        |          | 0    | 0        | 0     | 0  | dB      | False    | 0,80 |
| bgt_pand.gml | 19,86  | 22,41     | 3,47       | 6,52       |          |            |        |          | 0    | 0        | 0     | 0  | dB      | False    | 0,80 |
| bgt_pand.gml | 41,20  | 97,67     | 1,24       | 9,98       |          |            |        |          | 0    | 0        | 0     | 0  | dB      | False    | 0,80 |
| bgt_pand.gml | 73,63  | 225,95    | 1,65       | 13,03      |          |            |        |          | 0    | 0        | 0     | 0  | dB      | False    | 0,80 |
| bgt_pand.gml | 28,10  | 48,85     | 2,70       | 7,73       |          |            |        |          | 0    | 0        | 0     | 0  | dB      | False    | 0,80 |
| bgt_pand.gml | 48,71  | 118,41    | 0,76       | 9,29       |          |            |        |          | 0    | 0        | 0     | 0  | dB      | False    | 0,80 |
| bgt_pand.gml | 40,08  | 88,87     | 0,14       | 7,90       |          |            |        |          | 0    | 0        | 0     | 0  | dB      | False    | 0,80 |
| bgt_pand.gml | 43,87  | 105,27    | 1,03       | 10,38      |          |            |        |          | 0    | 0        | 0     | 0  | dB      | False    | 0,80 |
| bgt_pand.gml | 150,40 | 1178,81   | 0,11       | 38,91      |          |            |        |          | 0    | 0        | 0     | 0  | dB      | False    | 0,80 |
| bgt_pand.gml | 28,04  | 48,32     | 5,92       | 7,90       |          |            |        |          | 0    | 0        | 0     | 0  | dB      | False    | 0,80 |
| bgt_pand.gml | 28,43  | 49,92     | 6,33       | 7,89       |          |            |        |          | 0    | 0        | 0     | 0  | dB      | False    | 0,80 |
| bgt_pand.gml | 41,34  | 95,57     | 5,00       | 8,69       |          |            |        |          | 0    | 0        | 0     | 0  | dB      | False    | 0,80 |
| bgt_pand.gml | 10,71  | 5,43      | 1,36       | 3,99       |          |            |        |          | 0    | 0        | 0     | 0  | dB      | False    | 0,80 |
| bgt_pand.gml | 107,96 | 327,71    | 0,40       | 27,10      |          |            |        |          | 0    | 0        | 0     | 0  | dB      | False    | 0,80 |
| bgt_pand.gml | 72,95  | 183,76    | 1,47       | 9,26       |          |            |        |          | 0    | 0        | 0     | 0  | dB      | False    | 0,80 |
| bgt_pand.gml | 50,57  | 111,36    | 0,45       | 10,79      |          |            |        |          | 0    | 0        | 0     | 0  | dB      | False    | 0,80 |
| bgt_pand.gml | 46,24  | 107,77    | 0,32       | 8,75       |          |            |        |          | 0    | 0        | 0     | 0  | dB      | False    | 0,80 |
| bgt_pand.gml | 61,10  | 121,76    | 0,19       | 13,11      |          |            |        |          | 0    | 0        | 0     | 0  | dB      | False    | 0,80 |
| bgt_pand.gml | 52,22  | 147,72    | 0,17       | 7,69       |          |            |        |          | 0    | 0        | 0     | 0  | dB      | False    | 0,80 |
| bgt_pand.gml | 54,45  | 153,26    | 1,81       | 13,51      |          |            |        |          | 0    | 0        | 0     | 0  | dB      | False    | 0,80 |
| bgt_pand.gml | 192,23 | 1083,64   | 0,25       | 25,83      |          |            |        |          | 0    | 0        | 0     | 0  | dB      | False    | 0,80 |
| bgt_pand.gml | 28,35  | 49,65     | 1,33       | 7,84       |          |            |        |          | 0    | 0        | 0     | 0  | dB      | False    | 0,80 |
| bgt_pand.gml | 32,80  | 58,44     | 1,37       | 8,90       |          |            |        |          | 0    | 0        | 0     | 0  | dB      | False    | 0,80 |





**Akoestisch onderzoek wegverkeerslawaai  
Valkenswaardseweg 5, Leende**

**M&A Omgeving BV  
Juni 2021**

Model: Planjaar2031  
Wegverkeerslawaai ivm nieuwbouw woningen - Valkenswaardseweg 5, Leende  
Groep: (hoofdgroep)  
Lijst van Gebouwen, voor rekenmethode Wegverkeerslawaai - RMW-2012

| Groep        | ItemID | Grp.ID | Datum              | Naam   | Omschr.           | Vorm     | X-1       | Y-1       | Hoogte | Rel.H | Maaiiveld | Hdef.    | Vormpunten |
|--------------|--------|--------|--------------------|--------|-------------------|----------|-----------|-----------|--------|-------|-----------|----------|------------|
| bgt_pand.gml | 99     | 1      | 14:05, 28 sep 2020 | 33     | 1658100000019894  | Polygoon | 166246,02 | 373472,40 | 7,00   | 7,00  | 0,00      | Relatief | 11         |
| bgt_pand.gml | 101    | 1      | 14:05, 28 sep 2020 | 3a     | 1658100000043999  | Polygoon | 166424,55 | 373525,96 | 7,00   | 7,00  | 0,00      | Relatief | 10         |
| bgt_pand.gml | 102    | 1      | 14:05, 28 sep 2020 | 1-7    | 1658100000019450  | Polygoon | 166481,98 | 373479,62 | 7,00   | 7,00  | 0,00      | Relatief | 17         |
| bgt_pand.gml | 103    | 1      | 14:05, 28 sep 2020 |        | 1658100000043218  | Polygoon | 166116,78 | 373653,78 | 7,00   | 7,00  | 0,00      | Relatief | 7          |
| bgt_pand.gml | 104    | 1      | 14:05, 28 sep 2020 | 31     | 1658100000019895  | Polygoon | 166241,42 | 373439,11 | 7,00   | 7,00  | 0,00      | Relatief | 6          |
| bgt_pand.gml | 105    | 1      | 14:05, 28 sep 2020 | 29     | 16581000000019893 | Polygoon | 166247,32 | 373440,98 | 7,00   | 7,00  | 0,00      | Relatief | 10         |
| bgt_pand.gml | 106    | 1      | 14:05, 28 sep 2020 | 27     | 1658100000019898  | Polygoon | 166254,36 | 373439,89 | 7,00   | 7,00  | 0,00      | Relatief | 14         |
| bgt_pand.gml | 107    | 1      | 14:05, 28 sep 2020 | 27     | 1658100000019898  | Polygoon | 166254,36 | 373439,89 | 7,00   | 7,00  | 0,00      | Relatief | 13         |
| bgt_pand.gml | 110    | 1      | 14:05, 28 sep 2020 | 28     | 1658100000020001  | Polygoon | 166308,71 | 373501,19 | 7,00   | 7,00  | 0,00      | Relatief | 9          |
| bgt_pand.gml | 111    | 1      | 14:05, 28 sep 2020 | 43     | 1658100000019093  | Polygoon | 166580,68 | 373484,07 | 7,00   | 7,00  | 0,00      | Relatief | 6          |
| bgt_pand.gml | 112    | 1      | 14:05, 28 sep 2020 | 6      | 16581000000038220 | Polygoon | 166475,84 | 373535,54 | 7,00   | 7,00  | 0,00      | Relatief | 16         |
| bgt_pand.gml | 117    | 1      | 14:05, 28 sep 2020 | 15     | 1658100000019970  | Polygoon | 166225,13 | 373509,28 | 7,00   | 7,00  | 0,00      | Relatief | 11         |
| bgt_pand.gml | 119    | 1      | 14:05, 28 sep 2020 | 36     | 1658100000037574  | Polygoon | 166587,87 | 373547,44 | 7,00   | 7,00  | 0,00      | Relatief | 11         |
| bgt_pand.gml | 121    | 1      | 14:05, 28 sep 2020 | 30     | 1658100000019075  | Polygoon | 166552,04 | 373622,84 | 7,00   | 7,00  | 0,00      | Relatief | 16         |
| bgt_pand.gml | 122    | 1      | 14:05, 28 sep 2020 | 17     | 1658100000041542  | Polygoon | 166558,74 | 373564,96 | 7,00   | 7,00  | 0,00      | Relatief | 4          |
| bgt_pand.gml | 124    | 1      | 14:05, 28 sep 2020 | 22a    | 16581000000038201 | Polygoon | 166333,57 | 373592,37 | 7,00   | 7,00  | 0,00      | Relatief | 20         |
| bgt_pand.gml | 125    | 1      | 14:05, 28 sep 2020 | 18     | 1658100000041541  | Polygoon | 166562,02 | 373568,72 | 7,00   | 7,00  | 0,00      | Relatief | 5          |
| bgt_pand.gml | 127    | 1      | 14:05, 28 sep 2020 | 21     | 1658100000041696  | Polygoon | 166181,14 | 373463,85 | 7,00   | 7,00  | 0,00      | Relatief | 6          |
| bgt_pand.gml | 129    | 1      | 14:05, 28 sep 2020 | 31/G09 | 1658100000041078  | Polygoon | 166211,35 | 373441,74 | 7,00   | 7,00  | 0,00      | Relatief | 4          |
| bgt_pand.gml | 131    | 1      | 14:05, 28 sep 2020 | 3      | 1658100000040602  | Polygoon | 166447,64 | 373525,50 | 7,00   | 7,00  | 0,00      | Relatief | 13         |
| bgt_pand.gml | 132    | 1      | 14:05, 28 sep 2020 | 9      | 16581000000019404 | Polygoon | 166345,88 | 373476,73 | 7,00   | 7,00  | 0,00      | Relatief | 5          |
| bgt_pand.gml | 133    | 1      | 14:05, 28 sep 2020 | 22a    | 16581000000038201 | Polygoon | 166333,57 | 373592,37 | 7,00   | 7,00  | 0,00      | Relatief | 24         |
| bgt_pand.gml | 134    | 1      | 14:05, 28 sep 2020 | 35     | 1658100000019899  | Polygoon | 166251,30 | 373476,08 | 7,00   | 7,00  | 0,00      | Relatief | 8          |
| bgt_pand.gml | 135    | 1      | 14:05, 28 sep 2020 | 20     | 1658100000019457  | Polygoon | 166501,84 | 373577,75 | 7,00   | 7,00  | 0,00      | Relatief | 11         |
| bgt_pand.gml | 137    | 1      | 14:05, 28 sep 2020 | 31a    | 1658100000019883  | Polygoon | 166223,64 | 373464,92 | 7,00   | 7,00  | 0,00      | Relatief | 8          |
| bgt_pand.gml | 140    | 1      | 14:05, 28 sep 2020 | 7a     | 16581000000019995 | Polygoon | 166317,50 | 373548,70 | 7,00   | 7,00  | 0,00      | Relatief | 6          |
| bgt_pand.gml | 141    | 1      | 14:05, 28 sep 2020 | 10     | 1658100000019418  | Polygoon | 166449,47 | 373559,72 | 7,00   | 7,00  | 0,00      | Relatief | 8          |
| bgt_pand.gml | 143    | 1      | 14:05, 28 sep 2020 | 1b     | 1658100000019415  | Polygoon | 166369,85 | 373621,48 | 7,00   | 7,00  | 0,00      | Relatief | 11         |
| bgt_pand.gml | 144    | 1      | 14:05, 28 sep 2020 | 44a    | 1658100000019078  | Polygoon | 166536,45 | 373475,80 | 7,00   | 7,00  | 0,00      | Relatief | 7          |
| bgt_pand.gml | 145    | 1      | 14:05, 28 sep 2020 | 23     | 1658100000019885  | Polygoon | 166159,99 | 373440,29 | 7,00   | 7,00  | 0,00      | Relatief | 17         |
| bgt_pand.gml | 147    | 1      | 14:05, 28 sep 2020 | 14     | 16581000000020016 | Polygoon | 166316,46 | 373644,83 | 7,00   | 7,00  | 0,00      | Relatief | 9          |
| bgt_pand.gml | 148    | 1      | 14:05, 28 sep 2020 | 17     | 1658100000019407  | Polygoon | 166362,81 | 373508,70 | 7,00   | 7,00  | 0,00      | Relatief | 4          |
| bgt_pand.gml | 149    | 1      | 14:05, 28 sep 2020 | 1      | 16581000000038290 | Polygoon | 166612,07 | 373608,99 | 7,00   | 7,00  | 0,00      | Relatief | 19         |
| bgt_pand.gml | 150    | 1      | 14:05, 28 sep 2020 | 30a    | 1658100000019902  | Polygoon | 166124,39 | 373488,40 | 7,00   | 7,00  | 0,00      | Relatief | 11         |
| bgt_pand.gml | 151    | 1      | 14:05, 28 sep 2020 | 15     | 1658100000044678  | Polygoon | 166551,94 | 373557,17 | 7,00   | 7,00  | 0,00      | Relatief | 4          |

Akoestisch onderzoek wegverkeerslawaai  
Valkenswaardseweg 5, Leende

M&A Omgeving BV  
Juni 2021

Model: Planjaar2031  
Wegverkeerslawaai ivm nieuwbouw woningen - Valkenswaardseweg 5, Leende  
(hoofdgroep)  
Groep: Lijst van Gebouwen, voor rekenmethode Wegverkeerslawaai - RMW-2012

| Groep        | Omtrek | Oppervlak | Min.lengte | Max.lengte | FUNCTIE | Gebouwttype | BAG-id | Gemeente | Jaar | AHN-jaar | Trust | Cp | Zwevend | Refl. 63 |      |
|--------------|--------|-----------|------------|------------|---------|-------------|--------|----------|------|----------|-------|----|---------|----------|------|
| bgt_pand.gml | 42,49  | 67,25     | 0,38       | 10,32      |         |             |        |          | 0    | 0        | 0     | 0  | dB      | False    | 0,80 |
| bgt_pand.gml | 84,40  | 410,28    | 2,33       | 21,99      |         |             |        |          | 0    | 0        | 0     | 0  | dB      | False    | 0,80 |
| bgt_pand.gml | 136,52 | 473,86    | 1,41       | 18,49      |         |             |        |          | 0    | 0        | 0     | 0  | dB      | False    | 0,80 |
| bgt_pand.gml | 66,39  | 225,92    | 0,36       | 23,20      |         |             |        |          | 0    | 0        | 0     | 0  | dB      | False    | 0,80 |
| bgt_pand.gml | 37,78  | 63,65     | 1,60       | 12,50      |         |             |        |          | 0    | 0        | 0     | 0  | dB      | False    | 0,80 |
| bgt_pand.gml | 38,92  | 64,49     | 0,26       | 9,18       |         |             |        |          | 0    | 0        | 0     | 0  | dB      | False    | 0,80 |
| bgt_pand.gml | 45,77  | 69,27     | 0,40       | 12,51      |         |             |        |          | 0    | 0        | 0     | 0  | dB      | False    | 0,80 |
| bgt_pand.gml | 45,77  | 69,27     | 0,65       | 12,51      |         |             |        |          | 0    | 0        | 0     | 0  | dB      | False    | 0,80 |
| bgt_pand.gml | 36,57  | 76,06     | 0,44       | 7,95       |         |             |        |          | 0    | 0        | 0     | 0  | dB      | False    | 0,80 |
| bgt_pand.gml | 33,89  | 71,31     | 0,16       | 9,13       |         |             |        |          | 0    | 0        | 0     | 0  | dB      | False    | 0,80 |
| bgt_pand.gml | 56,87  | 117,68    | 0,02       | 8,22       |         |             |        |          | 0    | 0        | 0     | 0  | dB      | False    | 0,80 |
| bgt_pand.gml | 44,22  | 108,09    | 0,20       | 11,72      |         |             |        |          | 0    | 0        | 0     | 0  | dB      | False    | 0,80 |
| bgt_pand.gml | 48,12  | 96,54     | 0,13       | 11,07      |         |             |        |          | 0    | 0        | 0     | 0  | dB      | False    | 0,80 |
| bgt_pand.gml | 75,14  | 148,27    | 0,10       | 13,34      |         |             |        |          | 0    | 0        | 0     | 0  | dB      | False    | 0,80 |
| bgt_pand.gml | 32,30  | 56,76     | 5,17       | 10,98      |         |             |        |          | 0    | 0        | 0     | 0  | dB      | False    | 0,80 |
| bgt_pand.gml | 75,48  | 161,26    | 0,84       | 7,94       |         |             |        |          | 0    | 0        | 0     | 0  | dB      | False    | 0,80 |
| bgt_pand.gml | 31,94  | 54,77     | 0,18       | 10,98      |         |             |        |          | 0    | 0        | 0     | 0  | dB      | False    | 0,80 |
| bgt_pand.gml | 67,75  | 257,06    | 1,56       | 21,66      |         |             |        |          | 0    | 0        | 0     | 0  | dB      | False    | 0,80 |
| bgt_pand.gml | 18,54  | 18,66     | 2,95       | 6,32       |         |             |        |          | 0    | 0        | 0     | 0  | dB      | False    | 0,80 |
| bgt_pand.gml | 96,26  | 312,10    | 0,58       | 18,55      |         |             |        |          | 0    | 0        | 0     | 0  | dB      | False    | 0,80 |
| bgt_pand.gml | 28,03  | 48,64     | 2,68       | 7,68       |         |             |        |          | 0    | 0        | 0     | 0  | dB      | False    | 0,80 |
| bgt_pand.gml | 80,80  | 169,25    | 0,69       | 7,94       |         |             |        |          | 0    | 0        | 0     | 0  | dB      | False    | 0,80 |
| bgt_pand.gml | 46,04  | 64,36     | 1,08       | 13,74      |         |             |        |          | 0    | 0        | 0     | 0  | dB      | False    | 0,80 |
| bgt_pand.gml | 62,10  | 169,55    | 0,47       | 14,00      |         |             |        |          | 0    | 0        | 0     | 0  | dB      | False    | 0,80 |
| bgt_pand.gml | 32,19  | 61,21     | 0,21       | 9,92       |         |             |        |          | 0    | 0        | 0     | 0  | dB      | False    | 0,80 |
| bgt_pand.gml | 32,77  | 62,88     | 2,81       | 10,25      |         |             |        |          | 0    | 0        | 0     | 0  | dB      | False    | 0,80 |
| bgt_pand.gml | 37,31  | 74,02     | 0,38       | 10,20      |         |             |        |          | 0    | 0        | 0     | 0  | dB      | False    | 0,80 |
| bgt_pand.gml | 42,53  | 81,71     | 0,22       | 6,40       |         |             |        |          | 0    | 0        | 0     | 0  | dB      | False    | 0,80 |
| bgt_pand.gml | 46,82  | 126,83    | 0,17       | 14,56      |         |             |        |          | 0    | 0        | 0     | 0  | dB      | False    | 0,80 |
| bgt_pand.gml | 49,12  | 118,75    | 0,08       | 10,82      |         |             |        |          | 0    | 0        | 0     | 0  | dB      | False    | 0,80 |
| bgt_pand.gml | 35,90  | 70,18     | 0,71       | 9,20       |         |             |        |          | 0    | 0        | 0     | 0  | dB      | False    | 0,80 |
| bgt_pand.gml | 28,13  | 48,72     | 6,13       | 7,89       |         |             |        |          | 0    | 0        | 0     | 0  | dB      | False    | 0,80 |
| bgt_pand.gml | 67,41  | 171,57    | 0,11       | 9,66       |         |             |        |          | 0    | 0        | 0     | 0  | dB      | False    | 0,80 |
| bgt_pand.gml | 51,17  | 140,90    | 1,59       | 10,65      |         |             |        |          | 0    | 0        | 0     | 0  | dB      | False    | 0,80 |
| bgt_pand.gml | 31,73  | 53,59     | 4,78       | 10,98      |         |             |        |          | 0    | 0        | 0     | 0  | dB      | False    | 0,80 |



**Akoestisch onderzoek wegverkeerslawaai  
Valkenswaardseweg 5, Leende**

**M&A Omgeving BV  
Juni 2021**

Model: Planjaar2031  
Wegverkeerslawaai ivm nieuwbouw woningen - Valkenswaardseweg 5, Leende  
Groep: (hoofdgroep)  
Lijst van Gebouwen, voor rekenmethode Wegverkeerslawaai - RMW-2012

| Groep        | ItemID | Grp.ID | Datum              | Naam   | Omschr.          | Vorm     | X-1       | Y-1       | Hoogte | Rel.H | Maaiiveld | Hdef.    | Vormpunten |
|--------------|--------|--------|--------------------|--------|------------------|----------|-----------|-----------|--------|-------|-----------|----------|------------|
| bgt_pand.gml | 152    | 1      | 14:05, 28 sep 2020 | 1-2    | 1658100000019466 | Polygoon | 166506,69 | 373502,98 | 7,00   | 7,00  | 0,00      | Relatief | 18         |
| bgt_pand.gml | 153    | 1      | 14:05, 28 sep 2020 | 31b    | 1658100000019882 | Polygoon | 166229,32 | 373466,72 | 7,00   | 7,00  | 0,00      | Relatief | 5          |
| bgt_pand.gml | 154    | 1      | 14:05, 28 sep 2020 | 8      | 1658100000029686 | Polygoon | 166290,84 | 373636,87 | 7,00   | 7,00  | 0,00      | Relatief | 12         |
| bgt_pand.gml | 155    | 1      | 14:05, 28 sep 2020 | 53     | 1658100000041531 | Polygoon | 166553,08 | 373403,91 | 7,00   | 7,00  | 0,00      | Relatief | 15         |
| bgt_pand.gml | 156    | 1      | 14:05, 28 sep 2020 | 30     | 1658100000019075 | Polygoon | 166552,04 | 373622,84 | 7,00   | 7,00  | 0,00      | Relatief | 16         |
| bgt_pand.gml | 157    | 1      | 14:05, 28 sep 2020 | 8      | 1658100000029686 | Polygoon | 166290,84 | 373636,87 | 7,00   | 7,00  | 0,00      | Relatief | 12         |
| bgt_pand.gml | 158    | 1      | 14:05, 28 sep 2020 | 14     | 1658100000038205 | Polygoon | 166409,79 | 373573,93 | 7,00   | 7,00  | 0,00      | Relatief | 12         |
| bgt_pand.gml | 159    | 1      | 14:05, 28 sep 2020 | 16     | 1658100000038204 | Polygoon | 166407,45 | 373578,18 | 7,00   | 7,00  | 0,00      | Relatief | 15         |
| bgt_pand.gml | 160    | 1      | 14:05, 28 sep 2020 | 41a    | 1658100000019092 | Polygoon | 166580,64 | 373493,54 | 7,00   | 7,00  | 0,00      | Relatief | 12         |
| bgt_pand.gml | 161    | 1      | 14:05, 28 sep 2020 | 20     | 1658100000019457 | Polygoon | 166501,84 | 373577,75 | 7,00   | 7,00  | 0,00      | Relatief | 10         |
| bgt_pand.gml | 162    | 1      | 14:05, 28 sep 2020 | 7      | 1658100000019994 | Polygoon | 166324,41 | 373544,83 | 7,00   | 7,00  | 0,00      | Relatief | 7          |
| bgt_pand.gml | 163    | 1      | 14:05, 28 sep 2020 | 33     | 1658100000019894 | Polygoon | 166246,02 | 373472,40 | 7,00   | 7,00  | 0,00      | Relatief | 10         |
| bgt_pand.gml | 164    | 1      | 14:05, 28 sep 2020 | 35     | 1658100000019899 | Polygoon | 166252,24 | 373473,11 | 7,00   | 7,00  | 0,00      | Relatief | 10         |
| bgt_pand.gml | 166    | 1      | 14:05, 28 sep 2020 | 16     | 1658100000020015 | Polygoon | 166323,12 | 373641,37 | 7,00   | 7,00  | 0,00      | Relatief | 7          |
| bgt_pand.gml | 167    | 1      | 14:05, 28 sep 2020 | 10     | 1658100000019870 | Polygoon | 166299,01 | 373448,61 | 7,00   | 7,00  | 0,00      | Relatief | 8          |
| bgt_pand.gml | 168    | 1      | 14:05, 28 sep 2020 | 31/GL2 | 1658100000041081 | Polygoon | 166202,59 | 373438,96 | 7,00   | 7,00  | 0,00      | Relatief | 4          |
| bgt_pand.gml | 170    | 1      | 14:05, 28 sep 2020 | 10     | 1658100000029685 | Polygoon | 166299,44 | 373643,40 | 7,00   | 7,00  | 0,00      | Relatief | 10         |
| bgt_pand.gml | 171    | 1      | 14:05, 28 sep 2020 | 11     | 1658100000019403 | Polygoon | 166346,20 | 373484,79 | 7,00   | 7,00  | 0,00      | Relatief | 5          |
| bgt_pand.gml | 172    | 1      | 14:05, 28 sep 2020 | 36     | 1658100000019411 | Polygoon | 166347,27 | 373508,42 | 7,00   | 7,00  | 0,00      | Relatief | 5          |
| bgt_pand.gml | 174    | 1      | 14:05, 28 sep 2020 | 31/G04 | 1658100000041073 | Polygoon | 166222,92 | 373435,83 | 7,00   | 7,00  | 0,00      | Relatief | 5          |
| bgt_pand.gml | 176    | 1      | 14:05, 28 sep 2020 | 8      | 1658100000019621 | Polygoon | 166301,54 | 373441,78 | 7,00   | 7,00  | 0,00      | Relatief | 7          |
| bgt_pand.gml | 177    | 1      | 14:05, 28 sep 2020 | 39     | 1658100000019101 | Polygoon | 166607,67 | 373515,72 | 7,00   | 7,00  | 0,00      | Relatief | 10         |
| bgt_pand.gml | 178    | 1      | 14:05, 28 sep 2020 | 6      | 1658100000019433 | Polygoon | 166400,47 | 373645,67 | 7,00   | 7,00  | 0,00      | Relatief | 6          |
| bgt_pand.gml | 181    | 1      | 14:05, 28 sep 2020 | 31/G01 | 1658100000041074 | Polygoon | 166232,71 | 373435,47 | 7,00   | 7,00  | 0,00      | Relatief | 4          |
| bgt_pand.gml | 182    | 1      | 14:05, 28 sep 2020 | 2      | 1658100000019984 | Polygoon | 166241,84 | 373597,88 | 7,00   | 7,00  | 0,00      | Relatief | 17         |
| bgt_pand.gml | 183    | 1      | 14:05, 28 sep 2020 | 14     | 1658100000019443 | Polygoon | 166455,95 | 373622,42 | 7,00   | 7,00  | 0,00      | Relatief | 4          |
| bgt_pand.gml | 184    | 1      | 14:05, 28 sep 2020 | 12     | 1658100000019439 | Polygoon | 166450,31 | 373631,81 | 7,00   | 7,00  | 0,00      | Relatief | 6          |
| bgt_pand.gml | 185    | 1      | 14:05, 28 sep 2020 | 3a     | 1658100000019423 | Polygoon | 166369,14 | 373643,29 | 7,00   | 7,00  | 0,00      | Relatief | 12         |
| bgt_pand.gml | 187    | 1      | 14:05, 28 sep 2020 | 2a     | 1658100000019426 | Polygoon | 166401,35 | 373618,16 | 7,00   | 7,00  | 0,00      | Relatief | 11         |
| bgt_pand.gml | 188    | 1      | 14:05, 28 sep 2020 | 44     | 1658100000019077 | Polygoon | 166550,39 | 373473,87 | 7,00   | 7,00  | 0,00      | Relatief | 6          |
| bgt_pand.gml | 189    | 1      | 14:05, 28 sep 2020 | 8a     | 1658100000019434 | Polygoon | 166437,32 | 373641,87 | 7,00   | 7,00  | 0,00      | Relatief | 4          |
| bgt_pand.gml | 190    | 1      | 14:05, 28 sep 2020 | 12     | 1658100000019871 | Polygoon | 166299,02 | 373455,66 | 7,00   | 7,00  | 0,00      | Relatief | 10         |
| bgt_pand.gml | 192    | 1      | 14:05, 28 sep 2020 | 46     | 1658100000041533 | Polygoon | 166542,63 | 373455,59 | 7,00   | 7,00  | 0,00      | Relatief | 9          |
| bgt_pand.gml | 193    | 1      | 14:05, 28 sep 2020 | 7      | 1658100000037542 | Polygoon | 166556,58 | 373592,44 | 7,00   | 7,00  | 0,00      | Relatief | 8          |
| bgt_pand.gml | 194    | 1      | 14:05, 28 sep 2020 | 20     | 1658100000033962 | Polygoon | 166333,21 | 373637,55 | 7,00   | 7,00  | 0,00      | Relatief | 7          |

Akoestisch onderzoek wegverkeerslawaai  
 Valkenswaardseweg 5, Leende

M&A Omgeving BV  
 Juni 2021

Model: Planjaar2031  
 Wegverkeerslawaai ivm nieuwbouw woningen - Valkenswaardseweg 5, Leende  
 Groep: (hoofdgroep)  
 Lijst van Gebouwen, voor rekenmethode Wegverkeerslawaai - RMW-2012

| Groep        | Omtrek | Oppervlak | Min.lengte | Max.lengte | Funcctie | Gebouwtype | BAG-id | Gemeente | Jaar | AHN-jaar | Trust | Cp | Zwevend | Refl. 63 |      |
|--------------|--------|-----------|------------|------------|----------|------------|--------|----------|------|----------|-------|----|---------|----------|------|
| bgt_pand.gml | 58,12  | 133,57    | 0,31       | 11,51      |          |            |        |          | 0    | 0        | 0     | 0  | dB      | False    | 0,80 |
| bgt_pand.gml | 31,78  | 59,20     | 2,13       | 9,92       |          |            |        |          | 0    | 0        | 0     | 0  | dB      | False    | 0,80 |
| bgt_pand.gml | 46,76  | 99,18     | 0,10       | 9,20       |          |            |        |          | 0    | 0        | 0     | 0  | dB      | False    | 0,80 |
| bgt_pand.gml | 61,33  | 160,83    | 0,39       | 10,25      |          |            |        |          | 0    | 0        | 0     | 0  | dB      | False    | 0,80 |
| bgt_pand.gml | 62,59  | 125,41    | 0,10       | 7,97       |          |            |        |          | 0    | 0        | 0     | 0  | dB      | False    | 0,80 |
| bgt_pand.gml | 46,76  | 99,18     | 0,10       | 9,20       |          |            |        |          | 0    | 0        | 0     | 0  | dB      | False    | 0,80 |
| bgt_pand.gml | 62,47  | 130,54    | 0,44       | 11,37      |          |            |        |          | 0    | 0        | 0     | 0  | dB      | False    | 0,80 |
| bgt_pand.gml | 52,03  | 115,72    | 0,28       | 8,62       |          |            |        |          | 0    | 0        | 0     | 0  | dB      | False    | 0,80 |
| bgt_pand.gml | 43,56  | 104,47    | 0,18       | 9,13       |          |            |        |          | 0    | 0        | 0     | 0  | dB      | False    | 0,80 |
| bgt_pand.gml | 62,10  | 169,56    | 1,20       | 14,00      |          |            |        |          | 0    | 0        | 0     | 0  | dB      | False    | 0,80 |
| bgt_pand.gml | 32,80  | 62,95     | 1,35       | 8,90       |          |            |        |          | 0    | 0        | 0     | 0  | dB      | False    | 0,80 |
| bgt_pand.gml | 39,52  | 66,69     | 0,38       | 8,86       |          |            |        |          | 0    | 0        | 0     | 0  | dB      | False    | 0,80 |
| bgt_pand.gml | 42,06  | 65,18     | 0,98       | 10,32      |          |            |        |          | 0    | 0        | 0     | 0  | dB      | False    | 0,80 |
| bgt_pand.gml | 29,61  | 51,55     | 0,60       | 9,20       |          |            |        |          | 0    | 0        | 0     | 0  | dB      | False    | 0,80 |
| bgt_pand.gml | 38,49  | 73,55     | 1,95       | 7,88       |          |            |        |          | 0    | 0        | 0     | 0  | dB      | False    | 0,80 |
| bgt_pand.gml | 18,98  | 20,05     | 3,15       | 6,32       |          |            |        |          | 0    | 0        | 0     | 0  | dB      | False    | 0,80 |
| bgt_pand.gml | 45,02  | 86,35     | 1,47       | 9,20       |          |            |        |          | 0    | 0        | 0     | 0  | dB      | False    | 0,80 |
| bgt_pand.gml | 28,03  | 48,64     | 2,68       | 7,68       |          |            |        |          | 0    | 0        | 0     | 0  | dB      | False    | 0,80 |
| bgt_pand.gml | 28,45  | 50,01     | 2,86       | 7,87       |          |            |        |          | 0    | 0        | 0     | 0  | dB      | False    | 0,80 |
| bgt_pand.gml | 19,69  | 21,68     | 0,68       | 6,52       |          |            |        |          | 0    | 0        | 0     | 0  | dB      | False    | 0,80 |
| bgt_pand.gml | 28,43  | 49,94     | 0,21       | 7,88       |          |            |        |          | 0    | 0        | 0     | 0  | dB      | False    | 0,80 |
| bgt_pand.gml | 44,77  | 111,87    | 0,69       | 10,19      |          |            |        |          | 0    | 0        | 0     | 0  | dB      | False    | 0,80 |
| bgt_pand.gml | 34,19  | 65,01     | 2,54       | 8,65       |          |            |        |          | 0    | 0        | 0     | 0  | dB      | False    | 0,80 |
| bgt_pand.gml | 19,37  | 21,21     | 3,33       | 6,34       |          |            |        |          | 0    | 0        | 0     | 0  | dB      | False    | 0,80 |
| bgt_pand.gml | 69,41  | 212,47    | 0,84       | 14,01      |          |            |        |          | 0    | 0        | 0     | 0  | dB      | False    | 0,80 |
| bgt_pand.gml | 28,41  | 47,50     | 5,38       | 8,83       |          |            |        |          | 0    | 0        | 0     | 0  | dB      | False    | 0,80 |
| bgt_pand.gml | 34,19  | 62,67     | 0,42       | 11,72      |          |            |        |          | 0    | 0        | 0     | 0  | dB      | False    | 0,80 |
| bgt_pand.gml | 42,94  | 94,00     | 0,26       | 6,39       |          |            |        |          | 0    | 0        | 0     | 0  | dB      | False    | 0,80 |
| bgt_pand.gml | 39,46  | 86,83     | 0,24       | 8,65       |          |            |        |          | 0    | 0        | 0     | 0  | dB      | False    | 0,80 |
| bgt_pand.gml | 28,67  | 48,70     | 1,76       | 8,79       |          |            |        |          | 0    | 0        | 0     | 0  | dB      | False    | 0,80 |
| bgt_pand.gml | 28,21  | 46,96     | 5,38       | 8,73       |          |            |        |          | 0    | 0        | 0     | 0  | dB      | False    | 0,80 |
| bgt_pand.gml | 39,26  | 86,52     | 0,14       | 7,90       |          |            |        |          | 0    | 0        | 0     | 0  | dB      | False    | 0,80 |
| bgt_pand.gml | 52,89  | 167,81    | 1,19       | 10,53      |          |            |        |          | 0    | 0        | 0     | 0  | dB      | False    | 0,80 |
| bgt_pand.gml | 45,69  | 93,45     | 3,02       | 10,80      |          |            |        |          | 0    | 0        | 0     | 0  | dB      | False    | 0,80 |
| bgt_pand.gml | 32,76  | 57,65     | 0,29       | 7,11       |          |            |        |          | 0    | 0        | 0     | 0  | dB      | False    | 0,80 |



**Akoestisch onderzoek wegverkeerslawaai  
Valkenswaardseweg 5, Leende**

**M&A Omgeving BV  
Juni 2021**

Model: Planjaar2031  
Wegverkeerslawaai ivm nieuwbouw woningen - Valkenswaardseweg 5, Leende  
Groep: (hoofdgroep)  
Lijst van Gebouwen, voor rekenmethode Wegverkeerslawaai - RMW-2012

| Groep        | ItemID | Grp.ID | Datum              | Naam   | Omschr.          | Vorm     | X-1       | Y-1       | Hoogte | Rel.H | Maaienveld | Hdef.    | Vormpunten |
|--------------|--------|--------|--------------------|--------|------------------|----------|-----------|-----------|--------|-------|------------|----------|------------|
| bgt_pand.gml | 195    | 1      | 14:05, 28 sep 2020 | 31/GI3 | 1658100000041082 | Polygoon | 166199,55 | 373438,00 | 7,00   | 7,00  | 0,00       | Relatief | 4          |
| bgt_pand.gml | 196    | 1      | 14:05, 28 sep 2020 | 12     | 1658100000043038 | Polygoon | 166526,61 | 373552,12 | 7,00   | 7,00  | 0,00       | Relatief | 13         |
| bgt_pand.gml | 198    | 1      | 14:05, 28 sep 2020 | 12     | 1658100000019417 | Polygoon | 166437,90 | 373583,15 | 7,00   | 7,00  | 0,00       | Relatief | 11         |
| bgt_pand.gml | 200    | 1      | 14:05, 28 sep 2020 | 10     | 1658100000019435 | Polygoon | 166443,16 | 373639,86 | 7,00   | 7,00  | 0,00       | Relatief | 10         |
| bgt_pand.gml | 201    | 1      | 14:05, 28 sep 2020 | 26     | 1658100000019065 | Polygoon | 166527,93 | 373609,45 | 7,00   | 7,00  | 0,00       | Relatief | 15         |
| bgt_pand.gml | 203    | 1      | 14:05, 28 sep 2020 | 16a    | 1658100000019462 | Polygoon | 166477,01 | 373609,74 | 7,00   | 7,00  | 0,00       | Relatief | 5          |
| bgt_pand.gml | 205    | 1      | 14:05, 28 sep 2020 | 22     | 1658100000019874 | Polygoon | 166284,86 | 373500,22 | 7,00   | 7,00  | 0,00       | Relatief | 7          |
| bgt_pand.gml | 206    | 1      | 14:05, 28 sep 2020 | 31/G08 | 1658100000041077 | Polygoon | 166214,92 | 373439,88 | 7,00   | 7,00  | 0,00       | Relatief | 5          |
| bgt_pand.gml | 208    | 1      | 14:05, 28 sep 2020 | 2      | 1658100000019425 | Polygoon | 166404,75 | 373605,90 | 7,00   | 7,00  | 0,00       | Relatief | 12         |
| bgt_pand.gml | 209    | 1      | 14:05, 28 sep 2020 | 30     | 1658100000019999 | Polygoon | 166311,18 | 373512,56 | 7,00   | 7,00  | 0,00       | Relatief | 8          |
| bgt_pand.gml | 210    | 1      | 14:05, 28 sep 2020 | 11     | 1658100000019986 | Polygoon | 166272,36 | 373523,24 | 7,00   | 7,00  | 0,00       | Relatief | 12         |
| bgt_pand.gml | 211    | 1      | 14:05, 28 sep 2020 | 2      | 1658100000019877 | Polygoon | 166281,48 | 373419,43 | 7,00   | 7,00  | 0,00       | Relatief | 12         |
| bgt_pand.gml | 214    | 1      | 14:05, 28 sep 2020 | 53     | 1658100000041531 | Polygoon | 166553,08 | 373403,91 | 7,00   | 7,00  | 0,00       | Relatief | 13         |
| bgt_pand.gml | 215    | 1      | 14:05, 28 sep 2020 | 1      | 1658100000038290 | Polygoon | 166612,07 | 373608,99 | 7,00   | 7,00  | 0,00       | Relatief | 23         |
| bgt_pand.gml | 216    | 1      | 14:05, 28 sep 2020 | 14     | 1658100000020016 | Polygoon | 166316,46 | 373644,83 | 7,00   | 7,00  | 0,00       | Relatief | 9          |
| bgt_pand.gml | 218    | 1      | 14:05, 28 sep 2020 | 31a    | 1658100000019883 | Polygoon | 166223,64 | 373464,92 | 7,00   | 7,00  | 0,00       | Relatief | 10         |
| bgt_pand.gml | 219    | 1      | 14:05, 28 sep 2020 | 30     | 1658100000019075 | Polygoon | 166552,04 | 373622,84 | 7,00   | 7,00  | 0,00       | Relatief | 14         |
| bgt_pand.gml | 220    | 1      | 14:05, 28 sep 2020 | 5      | 1658100000037540 | Polygoon | 166571,71 | 373604,12 | 7,00   | 7,00  | 0,00       | Relatief | 8          |
| bgt_pand.gml | 222    | 1      | 14:05, 28 sep 2020 | 8      | 1658100000019448 | Polygoon | 166458,24 | 373568,50 | 7,00   | 7,00  | 0,00       | Relatief | 10         |
| bgt_pand.gml | 223    | 1      | 14:05, 28 sep 2020 | 17     | 1658100000019407 | Polygoon | 166368,81 | 373503,58 | 7,00   | 7,00  | 0,00       | Relatief | 14         |
| bgt_pand.gml | 224    | 1      | 14:05, 28 sep 2020 | 33     | 1658100000019894 | Polygoon | 166244,99 | 373475,66 | 7,00   | 7,00  | 0,00       | Relatief | 9          |
| bgt_pand.gml | 225    | 1      | 14:05, 28 sep 2020 | 14     | 1658100000038205 | Polygoon | 166409,79 | 373573,93 | 7,00   | 7,00  | 0,00       | Relatief | 10         |
| bgt_pand.gml | 228    | 1      | 14:05, 28 sep 2020 | 20     | 1658100000044678 | Polygoon | 166551,94 | 373557,17 | 7,00   | 7,00  | 0,00       | Relatief | 4          |
| bgt_pand.gml | 231    | 1      | 14:05, 28 sep 2020 | 34     | 1658100000020000 | Polygoon | 166342,45 | 373512,56 | 7,00   | 7,00  | 0,00       | Relatief | 4          |
| bgt_pand.gml | 232    | 1      | 14:05, 28 sep 2020 | 24     | 1658100000043057 | Polygoon | 166291,85 | 373587,30 | 7,00   | 7,00  | 0,00       | Relatief | 20         |
| bgt_pand.gml | 233    | 1      | 14:05, 28 sep 2020 | 10a    | 1658100000019436 | Polygoon | 166446,73 | 373635,83 | 7,00   | 7,00  | 0,00       | Relatief | 6          |
| bgt_pand.gml | 236    | 1      | 14:05, 28 sep 2020 | 38     | 1658100000019069 | Polygoon | 166582,29 | 373524,90 | 7,00   | 7,00  | 0,00       | Relatief | 12         |
| bgt_pand.gml | 238    | 1      | 14:05, 28 sep 2020 | 3      | 1658100000042019 | Polygoon | 166598,30 | 373418,49 | 7,00   | 7,00  | 0,00       | Relatief | 6          |
| bgt_pand.gml | 239    | 1      | 14:05, 28 sep 2020 | 12a    | 1658100000019444 | Polygoon | 166448,92 | 373630,33 | 7,00   | 7,00  | 0,00       | Relatief | 6          |
| bgt_pand.gml | 240    | 1      | 14:05, 28 sep 2020 | 31/GI1 | 1658100000041080 | Polygoon | 166205,49 | 373439,88 | 7,00   | 7,00  | 0,00       | Relatief | 5          |
| bgt_pand.gml | 243    | 1      | 14:05, 28 sep 2020 | 28     | 1658100000019972 | Polygoon | 166189,85 | 373536,97 | 7,00   | 7,00  | 0,00       | Relatief | 6          |
| bgt_pand.gml | 244    | 1      | 14:05, 28 sep 2020 | 15     | 1658100000019408 | Polygoon | 166357,65 | 373498,22 | 7,00   | 7,00  | 0,00       | Relatief | 7          |
| bgt_pand.gml | 245    | 1      | 14:05, 28 sep 2020 |        | 1658100000012521 | Polygoon | 166275,20 | 373607,68 | 7,00   | 7,00  | 0,00       | Relatief | 9          |
| bgt_pand.gml | 247    | 1      | 14:05, 28 sep 2020 |        | 1658100000029669 | Polygoon | 166311,50 | 373634,23 | 7,00   | 7,00  | 0,00       | Relatief | 5          |
| bgt_pand.gml | 248    | 1      | 14:05, 28 sep 2020 | 16b    | 1658100000019463 | Polygoon | 166480,57 | 373605,73 | 7,00   | 7,00  | 0,00       | Relatief | 4          |

Akoestisch onderzoek wegverkeerslawaai  
Valkenswaardseweg 5, Leende

M&A Omgeving BV  
Juni 2021

Model: Planjaar2031  
Wegverkeerslawaai ivm nieuwbouw woningen - Valkenswaardseweg 5, Leende  
(hoofdgroep)  
Groep: Lijst van Gebouwen, voor rekenmethode Wegverkeerslawaai - RMW-2012

| Groep        | Omtrek | Oppervlak | Min.lengte | Max.lengte | Funcctie | Gebouwtype | BAG-id | Gemeente | Jaar | AHN-jaar | Trust | Cp | Zwevend | Refl. 63 |      |
|--------------|--------|-----------|------------|------------|----------|------------|--------|----------|------|----------|-------|----|---------|----------|------|
| bgt_pand.gml | 19,21  | 20,76     | 3,26       | 6,32       |          |            |        |          | 0    | 0        | 0     | 0  | dB      | False    | 0,80 |
| bgt_pand.gml | 55,58  | 134,26    | 0,09       | 10,09      |          |            |        |          | 0    | 0        | 0     | 0  | dB      | False    | 0,80 |
| bgt_pand.gml | 74,24  | 162,62    | 1,88       | 15,55      |          |            |        |          | 0    | 0        | 0     | 0  | dB      | False    | 0,80 |
| bgt_pand.gml | 34,22  | 55,45     | 0,12       | 9,08       |          |            |        |          | 0    | 0        | 0     | 0  | dB      | False    | 0,80 |
| bgt_pand.gml | 56,30  | 107,51    | 0,27       | 8,75       |          |            |        |          | 0    | 0        | 0     | 0  | dB      | False    | 0,80 |
| bgt_pand.gml | 28,55  | 48,38     | 2,00       | 8,80       |          |            |        |          | 0    | 0        | 0     | 0  | dB      | False    | 0,80 |
| bgt_pand.gml | 28,35  | 49,65     | 0,23       | 7,84       |          |            |        |          | 0    | 0        | 0     | 0  | dB      | False    | 0,80 |
| bgt_pand.gml | 18,31  | 17,91     | 2,75       | 6,32       |          |            |        |          | 0    | 0        | 0     | 0  | dB      | False    | 0,80 |
| bgt_pand.gml | 53,39  | 110,86    | 1,91       | 11,58      |          |            |        |          | 0    | 0        | 0     | 0  | dB      | False    | 0,80 |
| bgt_pand.gml | 38,10  | 63,41     | 1,20       | 7,95       |          |            |        |          | 0    | 0        | 0     | 0  | dB      | False    | 0,80 |
| bgt_pand.gml | 65,67  | 166,90    | 0,44       | 12,00      |          |            |        |          | 0    | 0        | 0     | 0  | dB      | False    | 0,80 |
| bgt_pand.gml | 63,11  | 155,01    | 0,75       | 12,40      |          |            |        |          | 0    | 0        | 0     | 0  | dB      | False    | 0,80 |
| bgt_pand.gml | 61,38  | 170,31    | 0,39       | 10,25      |          |            |        |          | 0    | 0        | 0     | 0  | dB      | False    | 0,80 |
| bgt_pand.gml | 69,48  | 174,64    | 0,11       | 9,66       |          |            |        |          | 0    | 0        | 0     | 0  | dB      | False    | 0,80 |
| bgt_pand.gml | 41,52  | 79,26     | 0,71       | 9,20       |          |            |        |          | 0    | 0        | 0     | 0  | dB      | False    | 0,80 |
| bgt_pand.gml | 37,52  | 74,44     | 0,21       | 9,92       |          |            |        |          | 0    | 0        | 0     | 0  | dB      | False    | 0,80 |
| bgt_pand.gml | 59,15  | 124,42    | 0,10       | 7,97       |          |            |        |          | 0    | 0        | 0     | 0  | dB      | False    | 0,80 |
| bgt_pand.gml | 46,16  | 95,21     | 3,01       | 10,80      |          |            |        |          | 0    | 0        | 0     | 0  | dB      | False    | 0,80 |
| bgt_pand.gml | 51,32  | 101,88    | 1,01       | 8,46       |          |            |        |          | 0    | 0        | 0     | 0  | dB      | False    | 0,80 |
| bgt_pand.gml | 58,58  | 102,62    | 0,59       | 9,65       |          |            |        |          | 0    | 0        | 0     | 0  | dB      | False    | 0,80 |
| bgt_pand.gml | 42,47  | 84,42     | 0,38       | 13,74      |          |            |        |          | 0    | 0        | 0     | 0  | dB      | False    | 0,80 |
| bgt_pand.gml | 52,29  | 110,15    | 1,43       | 10,01      |          |            |        |          | 0    | 0        | 0     | 0  | dB      | False    | 0,80 |
| bgt_pand.gml | 31,73  | 53,59     | 4,78       | 10,98      |          |            |        |          | 0    | 0        | 0     | 0  | dB      | False    | 0,80 |
| bgt_pand.gml | 28,05  | 48,44     | 6,15       | 7,87       |          |            |        |          | 0    | 0        | 0     | 0  | dB      | False    | 0,80 |
| bgt_pand.gml | 64,78  | 172,21    | 0,60       | 8,12       |          |            |        |          | 0    | 0        | 0     | 0  | dB      | False    | 0,80 |
| bgt_pand.gml | 34,45  | 63,44     | 0,12       | 11,72      |          |            |        |          | 0    | 0        | 0     | 0  | dB      | False    | 0,80 |
| bgt_pand.gml | 45,45  | 99,47     | 0,35       | 9,86       |          |            |        |          | 0    | 0        | 0     | 0  | dB      | False    | 0,80 |
| bgt_pand.gml | 57,15  | 185,08    | 4,99       | 13,69      |          |            |        |          | 0    | 0        | 0     | 0  | dB      | False    | 0,80 |
| bgt_pand.gml | 32,49  | 47,92     | 0,18       | 10,87      |          |            |        |          | 0    | 0        | 0     | 0  | dB      | False    | 0,80 |
| bgt_pand.gml | 18,75  | 19,29     | 0,61       | 6,32       |          |            |        |          | 0    | 0        | 0     | 0  | dB      | False    | 0,80 |
| bgt_pand.gml | 41,77  | 99,30     | 2,31       | 13,57      |          |            |        |          | 0    | 0        | 0     | 0  | dB      | False    | 0,80 |
| bgt_pand.gml | 28,03  | 48,64     | 0,17       | 7,69       |          |            |        |          | 0    | 0        | 0     | 0  | dB      | False    | 0,80 |
| bgt_pand.gml | 68,32  | 266,96    | 1,59       | 19,53      |          |            |        |          | 0    | 0        | 0     | 0  | dB      | False    | 0,80 |
| bgt_pand.gml | 18,46  | 19,53     | 2,24       | 5,94       |          |            |        |          | 0    | 0        | 0     | 0  | dB      | False    | 0,80 |
| bgt_pand.gml | 28,32  | 47,20     | 5,35       | 8,80       |          |            |        |          | 0    | 0        | 0     | 0  | dB      | False    | 0,80 |





**Akoestisch onderzoek wegverkeerslawaai  
Valkenswaardseweg 5, Leende**

**M&A Omgeving BV  
Juni 2021**

Model: Planjaar2031  
Wegverkeerslawaai ivm nieuwbouw woningen - Valkenswaardseweg 5, Leende  
Groep: (hoofdgroep)  
Lijst van Gebouwen, voor rekenmethode Wegverkeerslawaai - RMW-2012

| Groep        | ItemID | Grp.ID | Datum              | Naam   | Omschr.          | Vorm     | X-1       | Y-1       | Hoogte | Rel.H | Maaienveld | Hdef.    | Vormpunten |
|--------------|--------|--------|--------------------|--------|------------------|----------|-----------|-----------|--------|-------|------------|----------|------------|
| bgt_pand.gml | 249    | 1      | 14:05, 28 sep 2020 | 8      | 1658100000029686 | Polygoon | 166290,84 | 373636,87 | 7,00   | 7,00  | 0,00       | Relatief | 13         |
| bgt_pand.gml | 250    | 1      | 14:05, 28 sep 2020 | 9      | 1658100000019096 | Polygoon | 166593,30 | 373635,06 | 7,00   | 7,00  | 0,00       | Relatief | 11         |
| bgt_pand.gml | 251    | 1      | 14:05, 28 sep 2020 | 18a    | 1658100000019458 | Polygoon | 166475,14 | 373579,32 | 7,00   | 7,00  | 0,00       | Relatief | 8          |
| bgt_pand.gml | 252    | 1      | 14:05, 28 sep 2020 | 49     | 1658100000019082 | Polygoon | 166563,31 | 373434,96 | 7,00   | 7,00  | 0,00       | Relatief | 12         |
| bgt_pand.gml | 253    | 1      | 14:05, 28 sep 2020 | 26     | 1658100000020002 | Polygoon | 166300,58 | 373508,61 | 7,00   | 7,00  | 0,00       | Relatief | 5          |
| bgt_pand.gml | 255    | 1      | 14:05, 28 sep 2020 | 3      | 1658100000019416 | Polygoon | 166369,51 | 373632,41 | 7,00   | 7,00  | 0,00       | Relatief | 17         |
| bgt_pand.gml | 258    | 1      | 14:05, 28 sep 2020 | 12     | 1658100000019617 | Polygoon | 166205,29 | 373418,15 | 7,00   | 7,00  | 0,00       | Relatief | 9          |
| bgt_pand.gml | 259    | 1      | 14:05, 28 sep 2020 | 20     | 1658100000042317 | Polygoon | 166307,83 | 373496,56 | 7,00   | 7,00  | 0,00       | Relatief | 5          |
| bgt_pand.gml | 260    | 1      | 14:05, 28 sep 2020 | 24     | 1658100000020003 | Polygoon | 166294,65 | 373506,38 | 7,00   | 7,00  | 0,00       | Relatief | 12         |
| bgt_pand.gml | 261    | 1      | 14:05, 28 sep 2020 | 13     | 1658100000019906 | Polygoon | 166239,26 | 373513,01 | 7,00   | 7,00  | 0,00       | Relatief | 17         |
| bgt_pand.gml | 262    | 1      | 14:05, 28 sep 2020 | 42-42a | 1658100000038226 | Polygoon | 166557,45 | 373493,72 | 7,00   | 7,00  | 0,00       | Relatief | 17         |
| bgt_pand.gml | 263    | 1      | 14:05, 28 sep 2020 | 39     | 1658100000019989 | Polygoon | 166254,82 | 373491,67 | 7,00   | 7,00  | 0,00       | Relatief | 9          |
| bgt_pand.gml | 266    | 1      | 14:05, 28 sep 2020 | 12     | 1658100000029684 | Polygoon | 166308,20 | 373636,78 | 7,00   | 7,00  | 0,00       | Relatief | 10         |
| bgt_pand.gml | 267    | 1      | 14:05, 28 sep 2020 | 31/G07 | 1658100000041070 | Polygoon | 166220,16 | 373444,54 | 7,00   | 7,00  | 0,00       | Relatief | 4          |
| bgt_pand.gml | 268    | 1      | 14:05, 28 sep 2020 | 31     | 1658100000019895 | Polygoon | 166241,42 | 373439,11 | 7,00   | 7,00  | 0,00       | Relatief | 10         |
| bgt_pand.gml | 269    | 1      | 14:05, 28 sep 2020 | 6a-6b  | 1658100000043219 | Polygoon | 166126,66 | 373652,07 | 7,00   | 7,00  | 0,00       | Relatief | 13         |
| bgt_pand.gml | 273    | 1      | 14:05, 28 sep 2020 | 40     | 1658100000033963 | Polygoon | 166333,14 | 373642,63 | 7,00   | 7,00  | 0,00       | Relatief | 8          |
| bgt_pand.gml | 274    | 1      | 14:05, 28 sep 2020 | 40     | 1658100000019997 | Polygoon | 166336,83 | 373545,75 | 7,00   | 7,00  | 0,00       | Relatief | 12         |
| bgt_pand.gml | 277    | 1      | 14:05, 28 sep 2020 | 2/NE01 | 1658100000042357 | Polygoon | 166234,79 | 373582,96 | 7,00   | 7,00  | 0,00       | Relatief | 4          |
| bgt_pand.gml | 279    | 1      | 14:05, 28 sep 2020 | 51     | 1658100000019083 | Polygoon | 166560,08 | 373425,44 | 7,00   | 7,00  | 0,00       | Relatief | 11         |
| bgt_pand.gml | 282    | 1      | 14:05, 28 sep 2020 | 3      | 1658100000040602 | Polygoon | 166447,64 | 373525,50 | 7,00   | 7,00  | 0,00       | Relatief | 16         |
| bgt_pand.gml | 284    | 1      | 14:05, 28 sep 2020 | 41     | 1658100000019091 | Polygoon | 166591,37 | 373500,12 | 7,00   | 7,00  | 0,00       | Relatief | 5          |
| bgt_pand.gml | 287    | 1      | 14:05, 28 sep 2020 | 25     | 1658100000019889 | Polygoon | 166269,71 | 373444,76 | 7,00   | 7,00  | 0,00       | Relatief | 7          |
| bgt_pand.gml | 288    | 1      | 14:05, 28 sep 2020 | 25     | 1658100000019889 | Polygoon | 166269,71 | 373444,76 | 7,00   | 7,00  | 0,00       | Relatief | 8          |
| bgt_pand.gml | 289    | 1      | 14:05, 28 sep 2020 | 21     | 1658100000019887 | Polygoon | 166273,43 | 373432,77 | 7,00   | 7,00  | 0,00       | Relatief | 11         |
| bgt_pand.gml | 291    | 1      | 14:05, 28 sep 2020 | 7      | 1658100000019107 | Polygoon | 166597,24 | 373630,44 | 7,00   | 7,00  | 0,00       | Relatief | 6          |
| bgt_pand.gml | 292    | 1      | 14:05, 28 sep 2020 | 14-15  | 1658100000041544 | Polygoon | 166551,94 | 373557,17 | 7,00   | 7,00  | 0,00       | Relatief | 5          |
| bgt_pand.gml | 294    | 1      | 14:05, 28 sep 2020 | 27     | 1658100000019898 | Polygoon | 166254,49 | 373439,50 | 7,00   | 7,00  | 0,00       | Relatief | 15         |
| bgt_pand.gml | 296    | 1      | 14:05, 28 sep 2020 | 41a    | 1658100000019092 | Polygoon | 166585,55 | 373491,53 | 7,00   | 7,00  | 0,00       | Relatief | 6          |
| bgt_pand.gml | 297    | 1      | 14:05, 28 sep 2020 | 1-7    | 1658100000019421 | Polygoon | 166476,32 | 373488,64 | 7,00   | 7,00  | 0,00       | Relatief | 19         |
| bgt_pand.gml | 298    | 1      | 14:05, 28 sep 2020 | 2-44   | 1658100000019421 | Polygoon | 166377,49 | 373397,34 | 7,00   | 7,00  | 0,00       | Relatief | 90         |
| bgt_pand.gml | 299    | 1      | 14:05, 28 sep 2020 | 6      | 1658100000019878 | Polygoon | 166249,70 | 373418,65 | 7,00   | 7,00  | 0,00       | Relatief | 10         |
| bgt_pand.gml | 300    | 1      | 14:05, 28 sep 2020 | 6a-6b  | 1658100000043219 | Polygoon | 166126,66 | 373652,07 | 7,00   | 7,00  | 0,00       | Relatief | 13         |
| bgt_pand.gml | 301    | 1      | 14:05, 28 sep 2020 | 24     | 1658100000020003 | Polygoon | 166294,65 | 373506,38 | 7,00   | 7,00  | 0,00       | Relatief | 10         |
| bgt_pand.gml | 302    | 1      | 14:05, 28 sep 2020 | 21     | 1658100000019887 | Polygoon | 166273,43 | 373432,77 | 7,00   | 7,00  | 0,00       | Relatief | 10         |

Akoestisch onderzoek wegverkeerslawaaai  
Valkenswaardseweg 5, Leende

M&A Omgeving BV  
Juni 2021

Model: Planjaar2031  
Wegverkeerslawaaai ivm nieuwbouw woningen - Valkenswaardseweg 5, Leende  
(hoofdgroep)  
Groep: Lijst van Gebouwen, voor rekenmethode Wegverkeerslawaaai - RMW-2012

| Groep        | Omtrek | Oppervlak | Min.lengte | Max.lengte | FUNCTIE | Gebouwtype | BAG-id | Gemeente | Jaar | AHN-jaar | Trust | Cp | Zwevend | Refl. 63 |      |
|--------------|--------|-----------|------------|------------|---------|------------|--------|----------|------|----------|-------|----|---------|----------|------|
| bgt_pand.gml | 46,76  | 99,18     | 0,01       | 9,20       |         |            |        |          | 0    | 0        | 0     | 0  | dB      | False    | 0,80 |
| bgt_pand.gml | 34,75  | 61,09     | 0,50       | 11,39      |         |            |        |          | 0    | 0        | 0     | 0  | dB      | False    | 0,80 |
| bgt_pand.gml | 34,33  | 66,10     | 1,70       | 8,66       |         |            |        |          | 0    | 0        | 0     | 0  | dB      | False    | 0,80 |
| bgt_pand.gml | 53,05  | 104,66    | 0,91       | 10,17      |         |            |        |          | 0    | 0        | 0     | 0  | dB      | False    | 0,80 |
| bgt_pand.gml | 28,85  | 51,24     | 3,09       | 8,09       |         |            |        |          | 0    | 0        | 0     | 0  | dB      | False    | 0,80 |
| bgt_pand.gml | 49,68  | 98,86     | 0,22       | 6,42       |         |            |        |          | 0    | 0        | 0     | 0  | dB      | False    | 0,80 |
| bgt_pand.gml | 48,29  | 117,48    | 0,75       | 12,11      |         |            |        |          | 0    | 0        | 0     | 0  | dB      | False    | 0,80 |
| bgt_pand.gml | 12,96  | 9,91      | 1,89       | 4,01       |         |            |        |          | 0    | 0        | 0     | 0  | dB      | False    | 0,80 |
| bgt_pand.gml | 45,48  | 88,80     | 0,66       | 8,09       |         |            |        |          | 0    | 0        | 0     | 0  | dB      | False    | 0,80 |
| bgt_pand.gml | 48,14  | 82,83     | 0,19       | 5,72       |         |            |        |          | 0    | 0        | 0     | 0  | dB      | False    | 0,80 |
| bgt_pand.gml | 76,47  | 241,80    | 0,18       | 9,15       |         |            |        |          | 0    | 0        | 0     | 0  | dB      | False    | 0,80 |
| bgt_pand.gml | 39,28  | 74,28     | 0,48       | 9,11       |         |            |        |          | 0    | 0        | 0     | 0  | dB      | False    | 0,80 |
| bgt_pand.gml | 47,78  | 80,04     | 2,50       | 9,20       |         |            |        |          | 0    | 0        | 0     | 0  | dB      | False    | 0,80 |
| bgt_pand.gml | 18,43  | 18,13     | 2,85       | 6,41       |         |            |        |          | 0    | 0        | 0     | 0  | dB      | False    | 0,80 |
| bgt_pand.gml | 39,32  | 66,26     | 0,11       | 9,12       |         |            |        |          | 0    | 0        | 0     | 0  | dB      | False    | 0,80 |
| bgt_pand.gml | 86,44  | 452,50    | 0,36       | 22,00      |         |            |        |          | 0    | 0        | 0     | 0  | dB      | False    | 0,80 |
| bgt_pand.gml | 23,75  | 25,03     | 0,22       | 5,95       |         |            |        |          | 0    | 0        | 0     | 0  | dB      | False    | 0,80 |
| bgt_pand.gml | 37,57  | 75,04     | 0,32       | 9,52       |         |            |        |          | 0    | 0        | 0     | 0  | dB      | False    | 0,80 |
| bgt_pand.gml | 11,01  | 7,58      | 2,75       | 2,76       |         |            |        |          | 0    | 0        | 0     | 0  | dB      | False    | 0,80 |
| bgt_pand.gml | 47,13  | 98,51     | 1,27       | 10,17      |         |            |        |          | 0    | 0        | 0     | 0  | dB      | False    | 0,80 |
| bgt_pand.gml | 100,44 | 345,61    | 0,58       | 18,55      |         |            |        |          | 0    | 0        | 0     | 0  | dB      | False    | 0,80 |
| bgt_pand.gml | 41,48  | 107,30    | 5,00       | 10,75      |         |            |        |          | 0    | 0        | 0     | 0  | dB      | False    | 0,80 |
| bgt_pand.gml | 37,78  | 63,90     | 0,36       | 12,52      |         |            |        |          | 0    | 0        | 0     | 0  | dB      | False    | 0,80 |
| bgt_pand.gml | 39,37  | 66,57     | 0,80       | 9,20       |         |            |        |          | 0    | 0        | 0     | 0  | dB      | False    | 0,80 |
| bgt_pand.gml | 45,82  | 69,14     | 0,17       | 12,48      |         |            |        |          | 0    | 0        | 0     | 0  | dB      | False    | 0,80 |
| bgt_pand.gml | 34,92  | 61,04     | 1,66       | 11,39      |         |            |        |          | 0    | 0        | 0     | 0  | dB      | False    | 0,80 |
| bgt_pand.gml | 31,92  | 54,65     | 0,19       | 10,98      |         |            |        |          | 0    | 0        | 0     | 0  | dB      | False    | 0,80 |
| bgt_pand.gml | 39,13  | 66,61     | 0,18       | 9,18       |         |            |        |          | 0    | 0        | 0     | 0  | dB      | False    | 0,80 |
| bgt_pand.gml | 40,57  | 102,43    | 0,18       | 10,75      |         |            |        |          | 0    | 0        | 0     | 0  | dB      | False    | 0,80 |
| bgt_pand.gml | 136,52 | 473,86    | 0,49       | 18,49      |         |            |        |          | 0    | 0        | 0     | 0  | dB      | False    | 0,80 |
| bgt_pand.gml | 574,29 | 3843,18   | 0,11       | 44,55      |         |            |        |          | 0    | 0        | 0     | 0  | dB      | False    | 0,80 |
| bgt_pand.gml | 48,86  | 119,40    | 0,76       | 12,25      |         |            |        |          | 0    | 0        | 0     | 0  | dB      | False    | 0,80 |
| bgt_pand.gml | 119,24 | 622,76    | 1,20       | 22,00      |         |            |        |          | 0    | 0        | 0     | 0  | dB      | False    | 0,80 |
| bgt_pand.gml | 35,27  | 69,26     | 0,66       | 8,09       |         |            |        |          | 0    | 0        | 0     | 0  | dB      | False    | 0,80 |
| bgt_pand.gml | 39,15  | 66,38     | 0,17       | 9,15       |         |            |        |          | 0    | 0        | 0     | 0  | dB      | False    | 0,80 |



**Akoestisch onderzoek wegverkeerslawaai  
Valkenswaardseweg 5, Leende**

**M&A Omgeving BV  
Juni 2021**

Model: Planjaar2031  
Wegverkeerslawaai ivm nieuwbouw woningen - Valkenswaardseweg 5, Leende  
Groep: (hoofdgroep)  
Lijst van Gebouwen, voor rekenmethode Wegverkeerslawaai - RMW-2012

| Groep        | ItemID | Grp.ID | Datum              | Naam   | Omschr.          | Vorm     | X-1       | Y-1       | Hoogte | Rel.H | Maaienveld | Hdef.    | Vormpunten |
|--------------|--------|--------|--------------------|--------|------------------|----------|-----------|-----------|--------|-------|------------|----------|------------|
| bgt_pand.gml | 303    | 1      | 14:05, 28 sep 2020 | 23     | 1658100000019888 | Polygoon | 166271,60 | 373438,67 | 7,00   | 7,00  | 0,00       | Relatief | 12         |
| bgt_pand.gml | 304    | 1      | 14:05, 28 sep 2020 | 31/G03 | 1658100000041076 | Polygoon | 166226,63 | 373433,54 | 7,00   | 7,00  | 0,00       | Relatief | 5          |
| bgt_pand.gml | 305    | 1      | 14:05, 28 sep 2020 | 16     | 1658100000019873 | Polygoon | 166292,06 | 373473,02 | 7,00   | 7,00  | 0,00       | Relatief | 8          |
| bgt_pand.gml | 306    | 1      | 14:05, 28 sep 2020 | 22     | 1658100000019465 | Polygoon | 166512,22 | 373597,45 | 7,00   | 7,00  | 0,00       | Relatief | 15         |
| bgt_pand.gml | 307    | 1      | 14:05, 28 sep 2020 | 19     | 1658100000041540 | Polygoon | 166572,39 | 373571,78 | 7,00   | 7,00  | 0,00       | Relatief | 12         |
| bgt_pand.gml | 308    | 1      | 14:05, 28 sep 2020 | 18     | 1658100000041541 | Polygoon | 166562,02 | 373568,72 | 7,00   | 7,00  | 0,00       | Relatief | 5          |
| bgt_pand.gml | 310    | 1      | 14:05, 28 sep 2020 | 28     | 1658100000020001 | Polygoon | 166311,18 | 373512,56 | 7,00   | 7,00  | 0,00       | Relatief | 11         |
| bgt_pand.gml | 311    | 1      | 14:05, 28 sep 2020 | 30     | 1658100000019999 | Polygoon | 166317,10 | 373514,79 | 7,00   | 7,00  | 0,00       | Relatief | 7          |
| bgt_pand.gml | 312    | 1      | 14:05, 28 sep 2020 | 4      | 1658100000019879 | Polygoon | 166266,71 | 373415,46 | 7,00   | 7,00  | 0,00       | Relatief | 11         |
| bgt_pand.gml | 314    | 1      | 14:05, 28 sep 2020 | 6      | 1658100000038220 | Polygoon | 166483,02 | 373543,29 | 7,00   | 7,00  | 0,00       | Relatief | 15         |
| bgt_pand.gml | 316    | 1      | 14:05, 28 sep 2020 | 4      | 1658100000038219 | Polygoon | 166485,93 | 373535,53 | 7,00   | 7,00  | 0,00       | Relatief | 26         |
| bgt_pand.gml | 317    | 1      | 14:05, 28 sep 2020 | 14     | 1658100000019620 | Polygoon | 166193,45 | 373418,17 | 7,00   | 7,00  | 0,00       | Relatief | 10         |
| bgt_pand.gml | 318    | 1      | 14:05, 28 sep 2020 | 43     | 1658100000019093 | Polygoon | 166580,68 | 373484,07 | 7,00   | 7,00  | 0,00       | Relatief | 9          |
| bgt_pand.gml | 320    | 1      | 14:05, 28 sep 2020 | 2      | 1658100000019965 | Polygoon | 166202,10 | 373635,49 | 7,00   | 7,00  | 0,00       | Relatief | 40         |
| bgt_pand.gml | 322    | 1      | 14:05, 28 sep 2020 | 8      | 1658100000019432 | Polygoon | 166433,74 | 373645,89 | 7,00   | 7,00  | 0,00       | Relatief | 8          |
| bgt_pand.gml | 323    | 1      | 14:05, 28 sep 2020 | 1      | 1658100000019413 | Polygoon | 166370,54 | 373599,72 | 7,00   | 7,00  | 0,00       | Relatief | 12         |
| bgt_pand.gml | 325    | 1      | 14:05, 28 sep 2020 | 9      | 1658100000019996 | Polygoon | 166302,31 | 373538,68 | 7,00   | 7,00  | 0,00       | Relatief | 8          |
| bgt_pand.gml | 326    | 1      | 14:05, 28 sep 2020 | 22     | 1658100000020012 | Polygoon | 166345,04 | 373582,50 | 7,00   | 7,00  | 0,00       | Relatief | 10         |
| bgt_pand.gml | 328    | 1      | 14:05, 28 sep 2020 | 9      | 1658100000019442 | Polygoon | 166475,33 | 373652,47 | 7,00   | 7,00  | 0,00       | Relatief | 9          |
| bgt_pand.gml | 329    | 1      | 14:05, 28 sep 2020 | 3      | 1658100000040602 | Polygoon | 166447,64 | 373525,50 | 7,00   | 7,00  | 0,00       | Relatief | 12         |
| bgt_pand.gml | 330    | 1      | 14:05, 28 sep 2020 | 5a     | 1658100000019961 | Polygoon | 166122,66 | 373585,73 | 7,00   | 7,00  | 0,00       | Relatief | 14         |
| bgt_pand.gml | 331    | 1      | 14:05, 28 sep 2020 | 1a     | 1658100000019414 | Polygoon | 166370,19 | 373610,60 | 7,00   | 7,00  | 0,00       | Relatief | 13         |
| bgt_pand.gml | 332    | 1      | 14:05, 28 sep 2020 | 3a     | 1658100000043438 | Polygoon | 166164,77 | 373586,09 | 7,00   | 7,00  | 0,00       | Relatief | 15         |
| bgt_pand.gml | 333    | 1      | 14:05, 28 sep 2020 | 7      | 1658100000033932 | Polygoon | 166335,09 | 373471,05 | 7,00   | 7,00  | 0,00       | Relatief | 6          |
| bgt_pand.gml | 334    | 1      | 14:05, 28 sep 2020 | 47     | 1658100000019079 | Polygoon | 166571,69 | 373448,44 | 7,00   | 7,00  | 0,00       | Relatief | 10         |
| bgt_pand.gml | 336    | 1      | 14:05, 28 sep 2020 | 32     | 1658100000019074 | Polygoon | 166556,59 | 373632,85 | 7,00   | 7,00  | 0,00       | Relatief | 9          |
| bgt_pand.gml | 340    | 1      | 14:05, 28 sep 2020 | 8      | 1658100000037543 | Polygoon | 166549,60 | 373591,76 | 7,00   | 7,00  | 0,00       | Relatief | 9          |
| bgt_pand.gml | 341    | 1      | 14:05, 28 sep 2020 | 34-34a | 1658100000037573 | Polygoon | 166602,63 | 373574,32 | 7,00   | 7,00  | 0,00       | Relatief | 21         |
| bgt_pand.gml | 342    | 1      | 14:05, 28 sep 2020 | 19     | 1658100000019971 | Polygoon | 166202,52 | 373494,74 | 7,00   | 7,00  | 0,00       | Relatief | 14         |
| bgt_pand.gml | 343    | 1      | 14:05, 28 sep 2020 | 30     | 1658100000019973 | Polygoon | 166152,28 | 373515,16 | 7,00   | 7,00  | 0,00       | Relatief | 12         |
| bgt_pand.gml | 344    | 1      | 14:05, 28 sep 2020 | 4a     | 1658100000019982 | Polygoon | 166270,71 | 373634,58 | 7,00   | 7,00  | 0,00       | Relatief | 17         |
| bgt_pand.gml | 345    | 1      | 14:05, 28 sep 2020 | 16     | 1658100000019461 | Polygoon | 166471,84 | 373612,56 | 7,00   | 7,00  | 0,00       | Relatief | 6          |
| bgt_pand.gml | 347    | 1      | 14:05, 28 sep 2020 | 4      | 1658100000019427 | Polygoon | 166398,52 | 373627,14 | 7,00   | 7,00  | 0,00       | Relatief | 4          |
| bgt_pand.gml | 348    | 1      | 14:05, 28 sep 2020 | 18     | 1658100000019464 | Polygoon | 166484,31 | 373597,68 | 7,00   | 7,00  | 0,00       | Relatief | 9          |
| bgt_pand.gml | 349    | 1      | 14:05, 28 sep 2020 | 17     | 1658100000041542 | Polygoon | 166558,74 | 373564,96 | 7,00   | 7,00  | 0,00       | Relatief | 4          |

Akoestisch onderzoek wegverkeerslawaai  
 Valkenswaardseweg 5, Leende

M&A Omgeving BV  
 Juni 2021

Model: Planjaar2031  
 Wegverkeerslawaai ivm nieuwbouw woningen - Valkenswaardseweg 5, Leende  
 Groep: (hoofdgroep)  
 Lijst van Gebouwen, voor rekenmethode Wegverkeerslawaai - RMW-2012

| Groep        | Omtrek | Oppervlak | Min.lengte | Max.lengte | Funcctie | Gebouwtype | BAG-id | Gemeente | Jaar | AHN-jaar | Trust | Cp | Zwevend | Refl. 63 |      |
|--------------|--------|-----------|------------|------------|----------|------------|--------|----------|------|----------|-------|----|---------|----------|------|
| bgt_pand.gml | 51,26  | 68,72     | 0,36       | 12,52      |          |            |        |          | 0    | 0        | 0     | 0  | dB      | False    | 0,80 |
| bgt_pand.gml | 19,73  | 22,36     | 0,68       | 6,34       |          |            |        |          | 0    | 0        | 0     | 0  | dB      | False    | 0,80 |
| bgt_pand.gml | 38,85  | 73,89     | 2,01       | 7,89       |          |            |        |          | 0    | 0        | 0     | 0  | dB      | False    | 0,80 |
| bgt_pand.gml | 66,62  | 156,03    | 0,18       | 8,22       |          |            |        |          | 0    | 0        | 0     | 0  | dB      | False    | 0,80 |
| bgt_pand.gml | 47,39  | 92,53     | 0,04       | 10,98      |          |            |        |          | 0    | 0        | 0     | 0  | dB      | False    | 0,80 |
| bgt_pand.gml | 31,94  | 54,77     | 0,18       | 10,98      |          |            |        |          | 0    | 0        | 0     | 0  | dB      | False    | 0,80 |
| bgt_pand.gml | 53,65  | 96,36     | 0,44       | 11,53      |          |            |        |          | 0    | 0        | 0     | 0  | dB      | False    | 0,80 |
| bgt_pand.gml | 37,96  | 76,89     | 1,20       | 11,53      |          |            |        |          | 0    | 0        | 0     | 0  | dB      | False    | 0,80 |
| bgt_pand.gml | 48,88  | 117,88    | 0,72       | 12,40      |          |            |        |          | 0    | 0        | 0     | 0  | dB      | False    | 0,80 |
| bgt_pand.gml | 56,87  | 117,68    | 0,02       | 8,22       |          |            |        |          | 0    | 0        | 0     | 0  | dB      | False    | 0,80 |
| bgt_pand.gml | 98,35  | 354,18    | 0,06       | 10,75      |          |            |        |          | 0    | 0        | 0     | 0  | dB      | False    | 0,80 |
| bgt_pand.gml | 48,27  | 114,93    | 0,33       | 12,11      |          |            |        |          | 0    | 0        | 0     | 0  | dB      | False    | 0,80 |
| bgt_pand.gml | 42,40  | 95,13     | 0,16       | 9,13       |          |            |        |          | 0    | 0        | 0     | 0  | dB      | False    | 0,80 |
| bgt_pand.gml | 126,01 | 556,70    | 0,59       | 13,07      |          |            |        |          | 0    | 0        | 0     | 0  | dB      | False    | 0,80 |
| bgt_pand.gml | 40,01  | 90,41     | 2,44       | 8,77       |          |            |        |          | 0    | 0        | 0     | 0  | dB      | False    | 0,80 |
| bgt_pand.gml | 43,29  | 91,00     | 0,33       | 8,49       |          |            |        |          | 0    | 0        | 0     | 0  | dB      | False    | 0,80 |
| bgt_pand.gml | 48,76  | 124,71    | 2,54       | 14,02      |          |            |        |          | 0    | 0        | 0     | 0  | dB      | False    | 0,80 |
| bgt_pand.gml | 48,06  | 102,89    | 1,41       | 9,66       |          |            |        |          | 0    | 0        | 0     | 0  | dB      | False    | 0,80 |
| bgt_pand.gml | 58,80  | 133,60    | 3,09       | 11,98      |          |            |        |          | 0    | 0        | 0     | 0  | dB      | False    | 0,80 |
| bgt_pand.gml | 96,26  | 312,10    | 0,58       | 18,55      |          |            |        |          | 0    | 0        | 0     | 0  | dB      | False    | 0,80 |
| bgt_pand.gml | 66,63  | 238,84    | 0,90       | 13,48      |          |            |        |          | 0    | 0        | 0     | 0  | dB      | False    | 0,80 |
| bgt_pand.gml | 42,86  | 89,02     | 0,22       | 6,45       |          |            |        |          | 0    | 0        | 0     | 0  | dB      | False    | 0,80 |
| bgt_pand.gml | 53,37  | 123,36    | 0,30       | 8,53       |          |            |        |          | 0    | 0        | 0     | 0  | dB      | False    | 0,80 |
| bgt_pand.gml | 27,78  | 48,10     | 0,10       | 7,65       |          |            |        |          | 0    | 0        | 0     | 0  | dB      | False    | 0,80 |
| bgt_pand.gml | 42,52  | 106,89    | 1,16       | 8,15       |          |            |        |          | 0    | 0        | 0     | 0  | dB      | False    | 0,80 |
| bgt_pand.gml | 39,67  | 85,12     | 1,47       | 7,97       |          |            |        |          | 0    | 0        | 0     | 0  | dB      | False    | 0,80 |
| bgt_pand.gml | 47,48  | 101,31    | 0,43       | 10,80      |          |            |        |          | 0    | 0        | 0     | 0  | dB      | False    | 0,80 |
| bgt_pand.gml | 87,38  | 367,68    | 0,06       | 9,63       |          |            |        |          | 0    | 0        | 0     | 0  | dB      | False    | 0,80 |
| bgt_pand.gml | 54,84  | 147,35    | 0,80       | 10,61      |          |            |        |          | 0    | 0        | 0     | 0  | dB      | False    | 0,80 |
| bgt_pand.gml | 53,16  | 135,50    | 1,05       | 12,72      |          |            |        |          | 0    | 0        | 0     | 0  | dB      | False    | 0,80 |
| bgt_pand.gml | 55,94  | 120,87    | 0,19       | 13,11      |          |            |        |          | 0    | 0        | 0     | 0  | dB      | False    | 0,80 |
| bgt_pand.gml | 35,15  | 66,97     | 1,98       | 12,03      |          |            |        |          | 0    | 0        | 0     | 0  | dB      | False    | 0,80 |
| bgt_pand.gml | 27,98  | 46,77     | 5,49       | 8,50       |          |            |        |          | 0    | 0        | 0     | 0  | dB      | False    | 0,80 |
| bgt_pand.gml | 44,35  | 77,12     | 0,06       | 11,14      |          |            |        |          | 0    | 0        | 0     | 0  | dB      | False    | 0,80 |
| bgt_pand.gml | 32,30  | 56,76     | 5,17       | 10,98      |          |            |        |          | 0    | 0        | 0     | 0  | dB      | False    | 0,80 |



**Akoestisch onderzoek wegverkeerslawaai  
Valkenswaardseweg 5, Leende**

**M&A Omgeving BV  
Juni 2021**

Model: Planjaar2031  
Wegverkeerslawaai ivm nieuwbouw woningen - Valkenswaardseweg 5, Leende  
Groep: (hoofdgroep)  
Lijst van Gebouwen, voor rekenmethode Wegverkeerslawaai - RMW-2012

| Groep        | ItemID | Grp.ID | Datum              | Naam   | Omschr.          | Vorm     | X-1       | Y-1       | Hoogte | Rel.H | Maaienveld | Hdef.    | Vormpunten |
|--------------|--------|--------|--------------------|--------|------------------|----------|-----------|-----------|--------|-------|------------|----------|------------|
| bgt_pand.gml | 350    | 1      | 14:05, 28 sep 2020 | 37     | 1658100000019897 | Polygoon | 166258,18 | 373474,86 | 7,00   | 7,00  | 0,00       | Relatief | 6          |
| bgt_pand.gml | 351    | 1      | 14:05, 28 sep 2020 | 37     | 1658100000019897 | Polygoon | 166258,18 | 373474,86 | 7,00   | 7,00  | 0,00       | Relatief | 9          |
| bgt_pand.gml | 355    | 1      | 14:05, 28 sep 2020 | 38     | 1658100000019410 | Polygoon | 166344,17 | 373543,67 | 7,00   | 7,00  | 0,00       | Relatief | 6          |
| bgt_pand.gml | 356    | 1      | 14:05, 28 sep 2020 | 40     | 1658100000019090 | Polygoon | 166571,34 | 373520,41 | 7,00   | 7,00  | 0,00       | Relatief | 19         |
| bgt_pand.gml | 357    | 1      | 14:05, 28 sep 2020 | 39a    | 1658100000019102 | Polygoon | 166606,30 | 373507,00 | 7,00   | 7,00  | 0,00       | Relatief | 10         |
| bgt_pand.gml | 358    | 1      | 14:05, 28 sep 2020 | 1-1a   | 1658100000019967 | Polygoon | 166211,24 | 373575,94 | 7,00   | 7,00  | 0,00       | Relatief | 20         |
| bgt_pand.gml | 359    | 1      | 14:05, 28 sep 2020 | 5      | 1658100000033931 | Polygoon | 166334,42 | 373463,30 | 7,00   | 7,00  | 0,00       | Relatief | 5          |
| bgt_pand.gml | 361    | 1      | 14:05, 28 sep 2020 | 34     | 1658100000019071 | Polygoon | 166561,16 | 373638,32 | 7,00   | 7,00  | 0,00       | Relatief | 9          |
| bgt_pand.gml | 362    | 1      | 14:05, 28 sep 2020 | 36     | 1658100000019095 | Polygoon | 166573,78 | 373646,64 | 7,00   | 7,00  | 0,00       | Relatief | 12         |
| bgt_pand.gml | 363    | 1      | 14:05, 28 sep 2020 | 3a     | 1658100000043999 | Polygoon | 166404,89 | 373535,84 | 7,00   | 7,00  | 0,00       | Relatief | 8          |
| bgt_pand.gml | 364    | 1      | 14:05, 28 sep 2020 | 16     | 1658100000041543 | Polygoon | 166555,34 | 373561,06 | 7,00   | 7,00  | 0,00       | Relatief | 4          |
| bgt_pand.gml | 367    | 1      | 14:05, 28 sep 2020 | 10     | 1658100000037539 | Polygoon | 166534,12 | 373579,79 | 7,00   | 7,00  | 0,00       | Relatief | 4          |
| bgt_pand.gml | 368    | 1      | 14:05, 28 sep 2020 | 35     | 1658100000019899 | Polygoon | 166252,24 | 373473,11 | 7,00   | 7,00  | 0,00       | Relatief | 13         |
| bgt_pand.gml | 370    | 1      | 14:05, 28 sep 2020 | 36a    | 1658100000037575 | Polygoon | 166590,21 | 373538,15 | 7,00   | 7,00  | 0,00       | Relatief | 12         |
| bgt_pand.gml | 371    | 1      | 14:05, 28 sep 2020 | 18b    | 1658100000019459 | Polygoon | 166464,72 | 373578,24 | 7,00   | 7,00  | 0,00       | Relatief | 12         |
| bgt_pand.gml | 373    | 1      | 14:05, 28 sep 2020 | 31/G10 | 1658100000041079 | Polygoon | 166208,54 | 373440,85 | 7,00   | 7,00  | 0,00       | Relatief | 4          |
| bgt_pand.gml | 374    | 1      | 14:05, 28 sep 2020 | 10     | 1658100000038219 | Polygoon | 166480,20 | 373531,99 | 7,00   | 7,00  | 0,00       | Relatief | 12         |
| bgt_pand.gml | 375    | 1      | 14:05, 28 sep 2020 | 6a-6b  | 1658100000043219 | Polygoon | 166126,66 | 373652,07 | 7,00   | 7,00  | 0,00       | Relatief | 8          |
| bgt_pand.gml | 376    | 1      | 14:05, 28 sep 2020 | 3      | 1658100000019962 | Polygoon | 166148,41 | 373581,63 | 7,00   | 7,00  | 0,00       | Relatief | 13         |
| bgt_pand.gml | 377    | 1      | 14:05, 28 sep 2020 | 15     | 1658100000019970 | Polygoon | 166226,79 | 373506,84 | 7,00   | 7,00  | 0,00       | Relatief | 10         |
| bgt_pand.gml | 378    | 1      | 14:05, 28 sep 2020 | 28     | 1658100000019064 | Polygoon | 166537,84 | 373608,42 | 7,00   | 7,00  | 0,00       | Relatief | 17         |
| bgt_pand.gml | 379    | 1      | 14:05, 28 sep 2020 | 31/G05 | 1658100000041072 | Polygoon | 166222,07 | 373438,51 | 7,00   | 7,00  | 0,00       | Relatief | 4          |
| bgt_pand.gml | 381    | 1      | 14:05, 28 sep 2020 | 10     | 1658100000029685 | Polygoon | 166299,44 | 373643,40 | 7,00   | 7,00  | 0,00       | Relatief | 10         |
| bgt_pand.gml | 382    | 1      | 14:05, 28 sep 2020 | 6a     | 1658100000019431 | Polygoon | 166411,13 | 373646,55 | 7,00   | 7,00  | 0,00       | Relatief | 9          |
| bgt_pand.gml | 383    | 1      | 14:05, 28 sep 2020 | 23     | 1658100000019888 | Polygoon | 166271,60 | 373438,67 | 7,00   | 7,00  | 0,00       | Relatief | 10         |
| bgt_pand.gml | 384    | 1      | 14:05, 28 sep 2020 | 41     | 1658100000019988 | Polygoon | 166252,73 | 373498,07 | 7,00   | 7,00  | 0,00       | Relatief | 13         |
| bgt_pand.gml | 385    | 1      | 14:05, 28 sep 2020 | 5      | 1658100000019108 | Polygoon | 166601,17 | 373625,81 | 7,00   | 7,00  | 0,00       | Relatief | 6          |
| bgt_pand.gml | 387    | 1      | 14:05, 28 sep 2020 | 31/G03 | 1658100000041076 | Polygoon | 166226,63 | 373433,54 | 7,00   | 7,00  | 0,00       | Relatief | 4          |
| bgt_pand.gml | 388    | 1      | 14:05, 28 sep 2020 | 22b    | 1658100000038219 | Polygoon | 166492,64 | 373527,25 | 7,00   | 7,00  | 0,00       | Relatief | 14         |
| bgt_pand.gml | 389    | 1      | 14:05, 28 sep 2020 | 22b    | 1658100000020014 | Polygoon | 166306,83 | 373588,46 | 7,00   | 7,00  | 0,00       | Relatief | 7          |
| bgt_pand.gml | 390    | 1      | 14:05, 28 sep 2020 | 28     | 1658100000019064 | Polygoon | 166537,84 | 373608,42 | 7,00   | 7,00  | 0,00       | Relatief | 13         |
| bgt_pand.gml | 391    | 1      | 14:05, 28 sep 2020 | 31/G02 | 1658100000041075 | Polygoon | 166229,54 | 373434,46 | 7,00   | 7,00  | 0,00       | Relatief | 5          |
| bgt_pand.gml | 394    | 1      | 14:05, 28 sep 2020 | 2      | 1658100000019965 | Polygoon | 166202,10 | 373635,49 | 7,00   | 7,00  | 0,00       | Relatief | 42         |
| bgt_pand.gml | 395    | 1      | 14:05, 28 sep 2020 | 40     | 1658100000019090 | Polygoon | 166571,53 | 373520,70 | 7,00   | 7,00  | 0,00       | Relatief | 15         |
| bgt_pand.gml | 396    | 1      | 14:05, 28 sep 2020 | 10     | 1658100000029685 | Polygoon | 166299,44 | 373643,40 | 7,00   | 7,00  | 0,00       | Relatief | 15         |



Akoestisch onderzoek wegverkeerslawaai  
Valkenswaardseweg 5, Leende

M&A Omgeving BV  
Juni 2021

Model: Planjaar2031  
Wegverkeerslawaai ivm nieuwbouw woningen - Valkenswaardseweg 5, Leende  
Groep: (hoofdgroep)  
Lijst van Gebouwen, voor rekenmethode Wegverkeerslawaai - RMW-2012

| Groep        | Omtrek | Oppervlak | Min.lengte | Max.lengte | Funcctie | Gebouwtype | BAG-id | Gemeente | Jaar | AHN-jaar | Trust | Cp | Zwevend | Refl. 63 |      |
|--------------|--------|-----------|------------|------------|----------|------------|--------|----------|------|----------|-------|----|---------|----------|------|
| bgt_pand.gml | 36,80  | 59,41     | 1,08       | 12,24      |          |            |        |          | 0    | 0        | 0     | 0  | dB      | False    | 0,80 |
| bgt_pand.gml | 38,93  | 62,81     | 0,98       | 9,12       |          |            |        |          | 0    | 0        | 0     | 0  | dB      | False    | 0,80 |
| bgt_pand.gml | 31,24  | 58,39     | 2,10       | 9,52       |          |            |        |          | 0    | 0        | 0     | 0  | dB      | False    | 0,80 |
| bgt_pand.gml | 79,59  | 252,47    | 0,26       | 17,08      |          |            |        |          | 0    | 0        | 0     | 0  | dB      | False    | 0,80 |
| bgt_pand.gml | 45,84  | 104,10    | 0,69       | 10,19      |          |            |        |          | 0    | 0        | 0     | 0  | dB      | False    | 0,80 |
| bgt_pand.gml | 127,52 | 913,69    | 0,35       | 20,25      |          |            |        |          | 0    | 0        | 0     | 0  | dB      | False    | 0,80 |
| bgt_pand.gml | 27,94  | 48,34     | 2,65       | 7,65       |          |            |        |          | 0    | 0        | 0     | 0  | dB      | False    | 0,80 |
| bgt_pand.gml | 36,80  | 66,96     | 0,34       | 7,97       |          |            |        |          | 0    | 0        | 0     | 0  | dB      | False    | 0,80 |
| bgt_pand.gml | 54,53  | 132,51    | 0,25       | 11,76      |          |            |        |          | 0    | 0        | 0     | 0  | dB      | False    | 0,80 |
| bgt_pand.gml | 84,40  | 410,28    | 2,33       | 21,99      |          |            |        |          | 0    | 0        | 0     | 0  | dB      | False    | 0,80 |
| bgt_pand.gml | 32,30  | 56,77     | 5,17       | 10,98      |          |            |        |          | 0    | 0        | 0     | 0  | dB      | False    | 0,80 |
| bgt_pand.gml | 32,45  | 58,61     | 5,43       | 10,81      |          |            |        |          | 0    | 0        | 0     | 0  | dB      | False    | 0,80 |
| bgt_pand.gml | 42,81  | 65,74     | 0,38       | 9,12       |          |            |        |          | 0    | 0        | 0     | 0  | dB      | False    | 0,80 |
| bgt_pand.gml | 50,55  | 113,65    | 0,89       | 11,07      |          |            |        |          | 0    | 0        | 0     | 0  | dB      | False    | 0,80 |
| bgt_pand.gml | 40,63  | 90,40     | 0,08       | 8,66       |          |            |        |          | 0    | 0        | 0     | 0  | dB      | False    | 0,80 |
| bgt_pand.gml | 19,08  | 20,36     | 3,20       | 6,32       |          |            |        |          | 0    | 0        | 0     | 0  | dB      | False    | 0,80 |
| bgt_pand.gml | 42,72  | 92,52     | 0,10       | 8,22       |          |            |        |          | 0    | 0        | 0     | 0  | dB      | False    | 0,80 |
| bgt_pand.gml | 66,45  | 226,58    | 1,20       | 23,20      |          |            |        |          | 0    | 0        | 0     | 0  | dB      | False    | 0,80 |
| bgt_pand.gml | 85,73  | 313,77    | 0,21       | 13,98      |          |            |        |          | 0    | 0        | 0     | 0  | dB      | False    | 0,80 |
| bgt_pand.gml | 42,90  | 72,94     | 0,76       | 7,55       |          |            |        |          | 0    | 0        | 0     | 0  | dB      | False    | 0,80 |
| bgt_pand.gml | 68,18  | 138,85    | 1,03       | 7,75       |          |            |        |          | 0    | 0        | 0     | 0  | dB      | False    | 0,80 |
| bgt_pand.gml | 18,69  | 18,44     | 2,82       | 6,52       |          |            |        |          | 0    | 0        | 0     | 0  | dB      | False    | 0,80 |
| bgt_pand.gml | 45,02  | 86,37     | 1,47       | 9,20       |          |            |        |          | 0    | 0        | 0     | 0  | dB      | False    | 0,80 |
| bgt_pand.gml | 34,35  | 65,86     | 0,30       | 8,56       |          |            |        |          | 0    | 0        | 0     | 0  | dB      | False    | 0,80 |
| bgt_pand.gml | 38,96  | 64,43     | 0,80       | 9,15       |          |            |        |          | 0    | 0        | 0     | 0  | dB      | False    | 0,80 |
| bgt_pand.gml | 57,33  | 121,96    | 1,16       | 9,11       |          |            |        |          | 0    | 0        | 0     | 0  | dB      | False    | 0,80 |
| bgt_pand.gml | 38,17  | 63,77     | 1,66       | 13,00      |          |            |        |          | 0    | 0        | 0     | 0  | dB      | False    | 0,80 |
| bgt_pand.gml | 18,37  | 18,03     | 2,84       | 6,34       |          |            |        |          | 0    | 0        | 0     | 0  | dB      | False    | 0,80 |
| bgt_pand.gml | 64,08  | 182,91    | 0,22       | 9,51       |          |            |        |          | 0    | 0        | 0     | 0  | dB      | False    | 0,80 |
| bgt_pand.gml | 41,34  | 95,57     | 1,98       | 8,69       |          |            |        |          | 0    | 0        | 0     | 0  | dB      | False    | 0,80 |
| bgt_pand.gml | 61,38  | 128,31    | 2,13       | 7,75       |          |            |        |          | 0    | 0        | 0     | 0  | dB      | False    | 0,80 |
| bgt_pand.gml | 18,74  | 19,21     | 1,37       | 6,34       |          |            |        |          | 0    | 0        | 0     | 0  | dB      | False    | 0,80 |
| bgt_pand.gml | 126,01 | 556,69    | 0,30       | 13,07      |          |            |        |          | 0    | 0        | 0     | 0  | dB      | False    | 0,80 |
| bgt_pand.gml | 71,96  | 223,96    | 0,26       | 17,07      |          |            |        |          | 0    | 0        | 0     | 0  | dB      | False    | 0,80 |
| bgt_pand.gml | 49,29  | 93,37     | 0,14       | 9,20       |          |            |        |          | 0    | 0        | 0     | 0  | dB      | False    | 0,80 |



Akoestisch onderzoek wegverkeerslawaaai  
 Valkenswaardseweg 5, Leende

M&A Omgeving BV  
 Juni 2021

Model: Planjaar2031  
 Wegverkeerslawaaai ivm nieuwbouw woningen - Valkenswaardseweg 5, Leende  
 Groep: (hoofdgroep)  
 Lijst van Gebouwen, voor rekenmethode Wegverkeerslawaaai - RMW-2012

| Groep        | ItemID | Grp.ID | Datum              | Naam | Omschr.          | Vorm     | X-1       | Y-1       | Hoogte | Rel.H | Maaiveld | Hdef.    | Vormpunten |
|--------------|--------|--------|--------------------|------|------------------|----------|-----------|-----------|--------|-------|----------|----------|------------|
| bgt_pand.gml | 398    | 1      | 14:05, 28 sep 2020 | 10   | 1658100000019418 | Polygoon | 166449,47 | 373559,72 | 7,00   | 7,00  | 0,00     | Relatief | 8          |
| bgt_pand.gml | 399    | 1      | 14:05, 28 sep 2020 | 16   | 1658100000038204 | Polygoon | 166410,00 | 373582,90 | 7,00   | 7,00  | 0,00     | Relatief | 13         |
| bgt_pand.gml | 400    | 1      | 14:05, 28 sep 2020 | 3    | 1658100000019110 | Polygoon | 166605,11 | 373621,19 | 7,00   | 7,00  | 0,00     | Relatief | 10         |
| bgt_pand.gml | 401    | 1      | 14:05, 28 sep 2020 | 4    | 0123456789123456 | Polygoon | 166600,52 | 373481,68 | 7,00   | 7,00  | 0,00     | Relatief | 4          |
| bgt_pand.gml | 402    | 1      | 14:05, 28 sep 2020 | 4    | 1658100000038219 | Polygoon | 166492,64 | 373527,25 | 7,00   | 7,00  | 0,00     | Relatief | 14         |

Akoestisch onderzoek wegverkeerslawaaai  
 Valkenswaardseweg 5, Leende

M&A Omgeving BV  
 Juni 2021

Model: Planjaar2031  
 Wegverkeerslawaaai ivm nieuwbouw woningen - Valkenswaardseweg 5, Leende  
 Groep: (hoofdgroep)  
 Lijst van Gebouwen, voor rekenmethode Wegverkeerslawaaai - RMW-2012

| Groep        | Omtrek | Oppervlak | Min.lengte | Max.lengte | FUNCTIE | Gebouwtype | BAG-id | Gemeente | Jaar | AHN-jaar | Trust | Cp | Zwevend | Refl. |      |
|--------------|--------|-----------|------------|------------|---------|------------|--------|----------|------|----------|-------|----|---------|-------|------|
| bgt_pand.gml | 37,31  | 84,64     | 0,38       | 10,20      |         |            |        |          | 0    | 0        | 0     | 0  | dB      | False | 0,80 |
| bgt_pand.gml | 52,03  | 115,68    | 0,28       | 8,62       |         |            |        |          | 0    | 0        | 0     | 0  | dB      | False | 0,80 |
| bgt_pand.gml | 41,74  | 68,91     | 1,11       | 13,00      |         |            |        |          | 0    | 0        | 0     | 0  | dB      | False | 0,80 |
| bgt_pand.gml | 10,71  | 5,43      | 1,36       | 3,99       |         |            |        |          | 0    | 0        | 0     | 0  | dB      | False | 0,80 |
| bgt_pand.gml | 64,08  | 182,91    | 0,22       | 9,51       |         |            |        |          | 0    | 0        | 0     | 0  | dB      | False | 0,80 |

Akoestisch onderzoek wegverkeerslawaaai  
Valkenswaardseweg 5, Leende

M&A Omgeving BV  
Juni 2021

Model: Planjaar2031  
Wegverkeerslawaaai ivm nieuwbouw woningen - Valkenswaardseweg 5, Leende  
(hoofdgroep)  
Groep: Lijst van Gebouwen, voor rekenmethode Wegverkeerslawaaai - RMW-2012

| Groep        | Refl. 125 | Refl. 250 | Refl. 500 | Refl. 1k | Refl. 2k | Refl. 4k | Refl. 8k |
|--------------|-----------|-----------|-----------|----------|----------|----------|----------|
| bgt_pand.gml | 0,80      | 0,80      | 0,80      | 0,80     | 0,80     | 0,80     | 0,80     |
| bgt_pand.gml | 0,80      | 0,80      | 0,80      | 0,80     | 0,80     | 0,80     | 0,80     |
| bgt_pand.gml | 0,80      | 0,80      | 0,80      | 0,80     | 0,80     | 0,80     | 0,80     |
| bgt_pand.gml | 0,80      | 0,80      | 0,80      | 0,80     | 0,80     | 0,80     | 0,80     |

## **Bijlage 3 : Rekenresultaten wegverkeerslawaaai**

Rapport: Resultatentabel  
Model: Planjaar2031  
LAeq totaalresultaten voor toetspunten  
(hoofdgroep)  
Groep:  
Groepsreductie: Nee

| Naam      |                  |           |           |        |      |       |       |      |
|-----------|------------------|-----------|-----------|--------|------|-------|-------|------|
| Toetspunt | Omschrijving     | X         | Y         | Hoogte | Dag  | Avond | Nacht | Lden |
| W1_A      | Voorgevel        | 166359,82 | 373558,70 | 1,50   | 68,8 | 66,0  | 60,1  | 69,7 |
| W1_B      | Voorgevel        | 166359,82 | 373558,70 | 5,00   | 68,7 | 66,0  | 60,0  | 69,6 |
| W1_C      | Voorgevel        | 166359,82 | 373558,70 | 7,50   | 68,2 | 65,4  | 59,4  | 69,0 |
| W2_A      | Linker zijgevel  | 166369,98 | 373556,58 | 1,50   | 64,9 | 62,1  | 56,1  | 65,7 |
| W2_B      | Linker zijgevel  | 166369,98 | 373556,58 | 5,00   | 64,7 | 61,9  | 56,0  | 65,6 |
| W2_C      | Linker zijgevel  | 166369,98 | 373556,58 | 7,50   | 64,3 | 61,5  | 55,6  | 65,2 |
| W3_A      | Rechter zijgevel | 166349,68 | 373556,87 | 1,50   | 65,4 | 62,7  | 56,7  | 66,3 |
| W3_B      | Rechter zijgevel | 166349,68 | 373556,87 | 5,00   | 65,6 | 62,8  | 56,9  | 66,5 |
| W3_C      | Rechter zijgevel | 166349,68 | 373556,87 | 7,50   | 65,2 | 62,4  | 56,5  | 66,1 |
| W4_A      | Achtergevel      | 166363,16 | 373546,45 | 1,50   | 42,2 | 39,3  | 33,4  | 43,0 |
| W4_B      | Achtergevel      | 166363,16 | 373546,45 | 5,00   | 45,0 | 42,2  | 36,3  | 45,9 |
| W4_C      | Achtergevel      | 166363,16 | 373546,45 | 7,50   | 47,4 | 44,6  | 38,7  | 48,3 |

Alle getoonde dB-waarden zijn A-gewogen

Rapport: Resultatentabel  
Model: Planjaar2031  
LAeq totaalresultaten voor toetspunten  
Groep: Valkenswaardseweg  
Groepsreductie: Ja

| Naam      |                  |           |           |        |      |       |       |      |
|-----------|------------------|-----------|-----------|--------|------|-------|-------|------|
| Toetspunt | Omschrijving     | X         | Y         | Hoogte | Dag  | Avond | Nacht | Lden |
| W1_A      | Voorgevel        | 166359,82 | 373558,70 | 1,50   | 63,8 | 61,0  | 55,1  | 64,7 |
| W1_B      | Voorgevel        | 166359,82 | 373558,70 | 5,00   | 63,7 | 61,0  | 55,0  | 64,6 |
| W1_C      | Voorgevel        | 166359,82 | 373558,70 | 7,50   | 63,2 | 60,4  | 54,4  | 64,0 |
| W2_A      | Linker zijgevel  | 166369,98 | 373556,58 | 1,50   | 59,9 | 57,1  | 51,1  | 60,7 |
| W2_B      | Linker zijgevel  | 166369,98 | 373556,58 | 5,00   | 59,7 | 56,9  | 51,0  | 60,6 |
| W2_C      | Linker zijgevel  | 166369,98 | 373556,58 | 7,50   | 59,3 | 56,5  | 50,6  | 60,2 |
| W3_A      | Rechter zijgevel | 166349,68 | 373556,87 | 1,50   | 60,4 | 57,7  | 51,7  | 61,3 |
| W3_B      | Rechter zijgevel | 166349,68 | 373556,87 | 5,00   | 60,6 | 57,8  | 51,9  | 61,5 |
| W3_C      | Rechter zijgevel | 166349,68 | 373556,87 | 7,50   | 60,2 | 57,4  | 51,5  | 61,1 |
| W4_A      | Achtergevel      | 166363,16 | 373546,45 | 1,50   | 37,2 | 34,3  | 28,4  | 38,0 |
| W4_B      | Achtergevel      | 166363,16 | 373546,45 | 5,00   | 40,0 | 37,2  | 31,3  | 40,9 |
| W4_C      | Achtergevel      | 166363,16 | 373546,45 | 7,50   | 42,4 | 39,6  | 33,7  | 43,3 |

Alle getoonde dB-waarden zijn A-gewogen



## **Bijlage 4: Verkeersgegevens gemeente Heeze-Leende**

**gegevens wegverkeer**

|                 |                   |
|-----------------|-------------------|
| Maatgevende weg | Valkenswaardseweg |
|-----------------|-------------------|

|      |      |
|------|------|
| jaar | 2030 |
|------|------|

|                             |       |
|-----------------------------|-------|
| totaal aantal/etmaal wegvak | 10390 |
|-----------------------------|-------|

|          |    |
|----------|----|
| snelheid | 50 |
|----------|----|

|        |                                      |
|--------|--------------------------------------|
| wegdek | elementenverharding<br>keeperverband |
|--------|--------------------------------------|

|                        | Dag  | Avond | Nacht |
|------------------------|------|-------|-------|
| gem. perc/uur          | 6,52 | 3,7   | 0,88  |
| perc. motoren          |      |       |       |
| perc. personenauto's   | 92,7 | 94,5  | 92,34 |
| perc. midzwaar verkeer | 5,62 | 4,56  | 6,74  |
| perc. zwaar verkeer    | 1,68 | 0,93  | 0,92  |
| perc bromfietsen       |      |       |       |
| Controle               | 100  | 99,99 | 100   |